



HOVEDOPPGAVE 2003

Tittel: Modellbasert stabiliserende regulering av gravitasjonsindusert slugging i pipeline-riser systemer.	Emneord: Riser indusert slugging, LQG regulering
Forfatter(e): Christian F. Trudvang	Utført i tiden: 14.01.2003-10.06.2003
Faglærer: Professor Sigurd Skogestad Veileder: Dr.ing stip. Espen Storkaas	Antall sider Hovedrapport: 36 Bilag: 21 + CD
EKSTRAKT AV ARBEIDET	
Forutsetninger og arbeidsmål: Diplomoppgaven er en fortsettelse på arbeidet i semester oppgaven om riser indusert slugging. Målet var å se på LQG regulering for eliminering av slugging, og teste reguleringsstrukturens evne til å undertrykke forstyrrelser. For å simulere riser indusert slugging ble det brukt to modeller; en OLGA-2000 modell og en forenklet modell utviklet av Storkaas og Skogestad.	
Konklusjoner og anbefalinger: For å unngå stasjonæravvik og å ha god kontroll på settpunkt ble LQG regulering med integral virkning funnet best egnet. Som tilstandsestimator er det brukt et ulineært Kalman filter med Storkaas og Skogestads ulineære modell med tre tilstander. Denne reguleringsstrukturen stabiliserte begge modellene. Målepunkts kombinasjonen oppstrøms- og nedstrøms- trykk gir best resultater. Om oppstrøms- trykkmåling ligger i riserens bunnpunkt eller 4500m ut i føderøret har liten betydning for reguleringsstrukturens ytelse. Hvis trykket oppstrøms ikke er tilgjengelig, kan en bruke målepunktet total massestrøm gjennom chokeventilen og nedstrøms trykkmåling til stabilisering av sluggstrømningen. Denne reguleringsstrukturen gir vesentlig tregere regulering. LQG regulering med integral virkning undertrykte forstyrrelser godt i begge modellene med målepunkts kombinasjonene: oppstrøms- og nedstrøms- trykkmålinger. Med Storkaas og Skogestads modell minkes sensitiviten for forstyrrelser betraktelig ved å bruke Kalman filter som estimerer forstyrrelser og tilstander. I OLGA-2000 modellen klarte ikke Kalman filteret å estimere endringer i forstyrrelse fort nok for å minke sensitivitet for raske forstyrrelser.	
Jeg erklærer at arbeidet er utført selvstendig og i samsvar med NTNUs eksamensreglement.	
Dato og underskrift:	

Sammendrag

I flerfaserørledninger kan det oppstå et uønsket strømningsmønster som kalles sluggestrømning. Hvis dette strømningsmønsteret oppstår ved et vertikalt løft kalles det riser induisert slugging. I denne oppgaven er det sett på hvordan LQG regulering kan eliminere slugging. Det er også sett på hvordan reguleringsstrukturen virker på settpunktsendringer og undertrykking av forstyrrelser.

Storkaas og Skogestad har utviklet en modell med tre tilstander som beskriver riser induisert slugging. Denne modellen blir videre i rapporten omtalt som Storkaas modell. De tre tilstandene i modellen er mengde gass i føderøret oppstrøms (m_{G1} [kg]), mengde væske i riseren (m_L [kg]) og mengde gass nedstrøms (m_{G2} [kg]). Disse tre tilstandene ble brukt som input til regulatoren. Et linert Kalman filter ble funnet uegnet som tilstandsestimator for regulatoren. For å estimere de tre tilstandene ble Storkaas modell brukt i et kontinuerlig ulineært Kalman filter. Filterets forsterkning ble beregnet som et lineært Kalman filter uten oppdatering.

For å simulere riser induisert slugging ble det brukt to modeller; en OLGA-2000 modell og Storkaas modell. Det ble sett på følgende målepunkt: oppstrøms-trykk 4500m foran riserens bunnpunkt (P_1 [bar]), oppstrøms-trykk i riserens bunnpunkt (P_{br} [bar]), nedstrøms-trykk foran chokeventilen (P_2 [bar]), nedstrøms-trykk etter chokeventilen (P_0 [bar]), trykk over chokeventilen (DP [bar]) og total massestrøm gjennom chokeventilen (Q [m³/s]). For LQG regulering i OLGA-2000 modellen ble det sett på tre målepunkts kombinasjoner: P_1 & DP , P_{br} & DP og Q & DP . For regulering av Storkaas modell ble det sett på to målepunkts kombinasjoner: P_{br} & DP og Q & DP . P_0 ble sett på som en målbar forstyrrelse for begge modellene. I OLGA-2000 er massestrøm inn gitt av en flash. Step i den totale massestrømmen inn i føret ($m_{Tot,inn}$ [kg/s]) ble sett på som en ikke-målbar forstyrrelse. I Storkaas modell ble det sett på step i både massestrøm gass inn i føderøret ($m_{G,inn}$ [kg/s]) og massestrøm væske inn i føderøret ($m_{L,inn}$ [kg/s]) som ikke-målbare forstyrrelser.

For å unngå stasjonæravvik og å ha god kontroll på settpunkt ble LQG regulering med integral virkning funnet best egnet. Denne reguleringsstrukturen stabiliserte begge modellene med alle målepunktene. I tillegg klarte den også settpunktsendringer. Målepunktene P_1 & DP og P_{br} & DP gir raskere regulering enn Q & DP for OLGA-2000 modellen. Om P_1 eller P_{br} ble brukt som oppstrøms-trykkmåling har liten innvirkning på stabilisering og settpunktsendringer. Reguleringsstrukturen med oppstrøms- og nedstrøms-trykkmålinger undertrykker også forstyrrelser bra. P_1 vil detektere endringer i $m_{Tot,inn}$ før P_{br} , slik at med å bruke målepunktet P_1 vil reguleringsstrukturen være mer robust mot endringer $m_{Tot,inn}$. Ved forstyrrelser i P_0 er det vice versa for trykkmålingene. Ved settpunkt 1 bar DP er Q & DP meget sensitivt for forstyrrelser som skaper trykkfall i DP . Dersom settpunktet økes til 2 bar blir systemet mer robust for forstyrrelser. I Storkaas modell ble sensitiviteten for forstyrrelser vesentlig redusert ved å estimere $m_{G,inn}$ og $m_{L,inn}$ i Kalman filteret. I OLGA-2000 er forstyrrelsen vanskeligere å estimere, sannsynligvis på grunn av liten observerbarhet eller for få målepunkter.

Innholdsfortegnelse

Sammendrag

1	Innledning	3
2	Teori	4
2.1	Slugg- strømning	4
2.1.1	Syklisk oppførsel av riser induisert slugging	4
2.1.2	Problemer med riser induisert slugging	5
2.2	LQG regulering	5
2.2.1	Tilstandsrom-modell	5
2.2.2	Kalman filter	6
2.2.3	LQG regulator	7
2.2.4	LQG reguleringsstruktur	9
3	Modeller	10
3.1	Storkaas modell	10
3.2	OLGA-2000	10
3.3	OLGA-2000 – Simulink link	11
3.4	Oppgave case	12
3.5	Åpen sløyfe simulering av de to modellene	14
4	Resultater og Diskusjon	16
4.1	Kalman filter	16
4.1.1	lineært Kalman filter	16
4.1.2	Ulineært Kalman filter	17
4.2	LQG regulering	18
4.2.1	LQG på Storkaas modell	18
4.2.2	LQG på OLGA-2000 modell	20
4.3	LQG regulering med integral virkning	22
4.3.1	LQG med integral virkning på Storkaas modell	22
4.3.2	LQG med integral virkning på OLGA-2000 modell	24
4.4	Forstyrrelser på LQG regulering med integral virkning	26
4.4.1	Forstyrrelser på LQG med integral virkning uten forstyrrelse estimering på Storkaas modell	27
4.4.2	Forstyrrelser på LQG med integral virkning med forstyrrelse estimering på Sorkaas modell	28
4.4.3	Forstyrrelser på LQG med integral virkning uten forstyrrelse estimering på OLGA-2000 modell	30
4.4.4	Forstyrrelser på LQG med integral virkning med forstyrrelse estimering på OLGA-2000 modell	31
4.5	Forslag til videre arbeide	33
5	Konklusjon	34

6	Referanseliste	35
7	Vedlegg	
	Vedlegg 1	
	Notasjon, ligninger, antagelser og kommentarer til Storkaas modell	36
	Vedlegg 2	
	Beregninger av parametere for Kalman filter og regulator	40
	Vedlegg 3	
	Forstyrrelser på LQG med integral virkning uten forstyrrelse estimering på Storkaas modell	42
	Vedlegg 4	
	Forstyrrelser på LQG med integral virkning uten forstyrrelse estimering på OLGA-2000 modell	46
	Vedlegg 5	
	Sammenligning av kaskade struktur og LQG for målepunktene Q & DP	50
	Vedlegg 6	
	Forstyrrelser på LQG med integral virkning og forstyrrelse estimering på Storkaas modell	51
	Vedlegg 7	
	Forstyrrelser på LQG med integral virkning med forstyrrelse estimering på OLGA-2000 modell	55

1 Innledning

Det vertikale løftet fra havbunnen til plattformen (riseren) kan skape slugg-strømning (riser induisert slugging). Dette ustabile strømningsmønsteret har blitt rapportert som et problem for produksjonsplattformer. I de senere årene har det blitt jobbet med stabilisering av riser induisert slugg-strømning. Mer om dette kan finnes i artiklene Hende og Linga (2000), Henriot *et.al.* (1999), Skofteland og Godhavn (2003), Storkaas, Alstad og Skogestad (2001) og Havre og Dalsmo (2002). En enkel og effektiv måte å eliminere denne sluggingen på har vist seg å være en PI- regulator med oppstrøms-trykk som målepunkt. Hvis dette målepunktet ikke er tilgjengelig kan ulike kaskadestrukturer, med nedstrøms-trykk som målepunkt også brukes til stabilisering. Disse kaskadestrukturere har vist seg å være trege både til å stabilisere slugg-strømningen og endringer i settpunkt, fordi målepunktet nedstrøms-trykk gir i en slik struktur inversrespons.

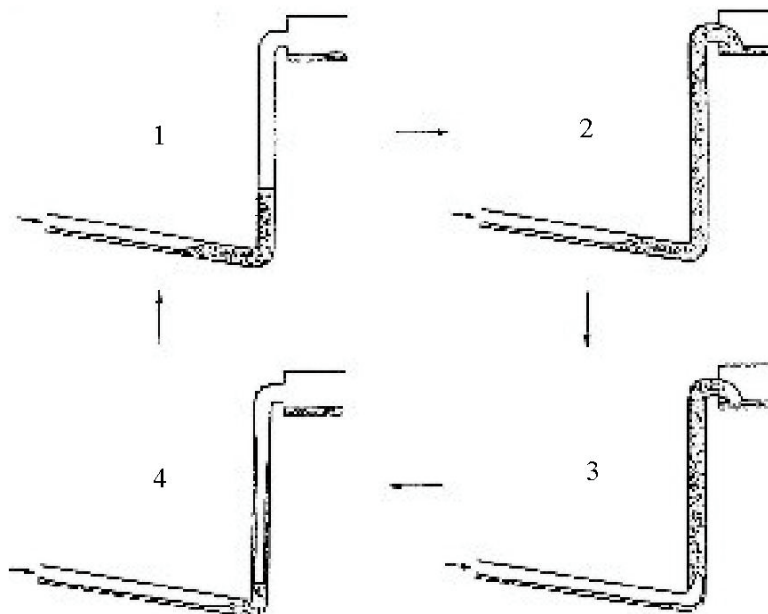
I denne oppgaven er det sett på hvordan LQG regulering med og uten integral virkning stabiliserer riser induisert slugging. Det er også sett på hvordan LQG med integral virkning gjør settpunksendringer og undertrykker forstyrrelser. Som tilstandsestimator er det brukt et kontinuerlig ulinert Kalman filter. Modellen i det ulinære Kalman filteret er en forenklet modell som beskriver riser induisert slugging. Denne modellen er utviklet av Storkaas og Skogestad og blir i oppgaven omtalt som Storkaas modell. For å simulere riser induisert slugging er det brukt en OLGA-2000 modell og Storkaas modell. Det er også forsøkt å estimere massestrømmer inn i føderøret for å minke systemets sensitivitet mot ikke-målbare forstyrrelser.

2 Teori

2.1 Slugg-strømning

Slugg-strømning er et ustabilisert strømningsmønster som kan oppstå i flerfase rørledninger. Problemet oppstår når man får væske ansamlinger som opptar hele tverrsnittet av røret. Dette vil blokkere for gasstrømmen. Blokkeringen fører til at man får en søyle av ren væske som skyves fremover av en gasslomme. Slugg-strømning kan oppstå på grunn av forskjell i strømningshastigheten mellom væske og gass. Dette kalles hydrodynamisk slugging. Rørledningens geometri kan også skape gravitasjons induisert slugg-strømning. Dette kan oppstå som følge av terrenget rørledningen følger (terreng induisert slugging), eller ved et vertikalt løft (riser induisert slugging). I denne oppgaven er det jobbet med riser induert slugg-strømning.

2.1.1 Syklisk oppførsel av riser induert slugging



Figur 1: Strømningsmønster i en riser med flerfase

Gravitasjons induert slugg-strømning er et fenomen som kan oppstå i flerfaserørledninger med høydeforskjell. Først samles væsken opp i bunnpunktet i det vertikale løftet. En forutsetning for slugging er at gass- og væske- hastigheten er lav nok til å tillate en væskeansamling. Når væskeansamlingen har blitt stor nok, vil den blokkere for gasstrømmen i bunnpunktet av riseren, og en kontinuerlig væskeslugg dannes som illustrert ved trinn 1 i figur 1. Væskesluggen vil vokse så lenge trykkøkningen oppstrøms for sluggen er lavere enn økningen av tyngden til væskesøylen i riseren. Dette er trinn 2 i den periodiske oppførselen. Trinn 3 skjer når trykket oppstrøms av sluggen blir større enn tyngden av væskesøylen og gassen vil begynne å penetrere væsken i riseren og presse den ut. Dette fører til et trykkfall, gassen vil ekspandere og tettheten i riseren reduseres. Etter at mesteparten av væsken og gassen har forlatt riseren, er ikke gasshastigheten høy nok til å dra med seg væske

oppover. Væsken vil derfor renne ned i bunnen av riseren (trinn 4), og en ny væskeansamling begynner å vokse.

2.1.2 Problemer med riser induisert slugging

Denne formen for slugg-strømning skaper problemer for produksjonsplattformer. I riseren fra havbunnen til plattformen kan disse sluggene vokse seg meget store, og skape problemer når de ankommer produksjonsenheten. Det første problemet kan oppstå i mottaks-separatoren. Store variasjoner i væsknivået fører til ikke-optimal separering, og i verste fall flooding. Flooding er at væsken stuves opp og i realiteten begynner å gå over topp i tårnet. Neste problem kan oppstå i kompressorene. Problemet er at for store trykksvingninger i inngangen kan føre til uønsket flaring. Slugg-strømning fører til store variasjoner i mengde av gass og olje som må håndteres. Disse svingningene i inngangen til produksjonen fører til vanskeligheter med å holde en jevn og kontinuerlig drift, som igjen gir utslag i redusert ytelse for produksjonen. Slugg-strømning skaper også unødvendig slitasje på utstyret.

En løsning for å unngå det uønskede strømningsmønsteret er å strupe chokeventilen tilstrekkelig. Dette fører til en trykk økning over ventilen, som videre fører til en trykk økning i hele rørsystemet. Trykkøkningen gir en lavere olje utvinning. Det har også blitt installert injeksjon av løftegass i bunn av riseren for å unngå slugg-strømning. En annen løsning på problemet er å installere store mottakstanker (slug-catchers). Dette er uøkonomisk da store enheter offshore er kostbart. Ved bruk av aktiv regulering for å hindre slugg-strømning, kan man stabilisere strømmingen ved lavere trykk, noe som gir en høyere olje utvinning. Ved å løse slugg-strømnings problemet med aktiv regulering, vil man kunne spare mye økonomisk.

2.2 LQG regulering

2.2.1 Tilstandsrom-modell

LQG (linear quadratic gaussian) er en multivariabel reguleringsstruktur. I multivariabel regulering bruker en som regel tilstandsrom-modell for å beskrive systemet.

$$\dot{x} = Ax + Bu + w_d \quad (1)$$

$$y = Cx + Du + w_n \quad (2)$$

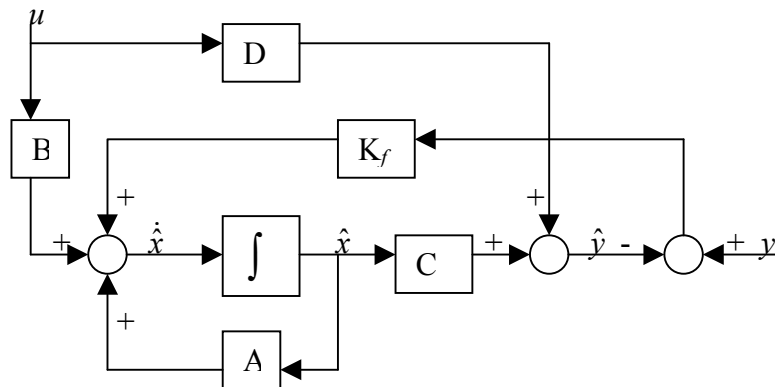
$$x \in R^n, u \in R^m, y \in R^p, A \in R^{n \times n}, B \in R^{n \times m}, C \in R^{p \times n}, D \in R^{p \times m}$$

x er tilstandene, y er målepunktene, u er pådraget, w_d er forstyrrelser (prosess støy) og w_n er måle støy. w_d og w_n er hvit støy. A, B, C, D, w_n og w_d er lineariserte ligningene på matriseform med avviksvariable: tilstander, pådrag og forstyrrelser.

2.2.2 Kalman filter

Lineært Kalman filter

Kalman filter er en estimator som bruker målepunktene (y) og pådragene (u) til å estimere tilstandene. Den mest vanlige formen er lineært Kalman filter.

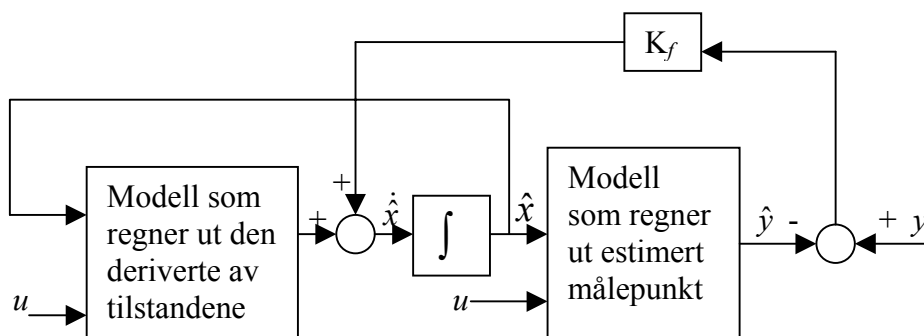


Figur 2: Lineært Kalman filter

A, B, C og D blokkene er matrisene fra tilstandsrom-modellen. K_f bruker differansen mellom reell og estimert verdi av målepunktet til å beregne hvor mye som skal trekkes fra eller legges til de deriverte estimerte tilstandene. På denne måten rettes estimeringsfeil i Kalman filteret opp.

Ulineært Kalman filter

Hvis systemet som skal estimeres er ulineært, eller grense syklusen det estimeres rundt er for langt unna lineariseringspunktet, vil et lineært Kalman filter estimere feil. Et ulineært Kalman filter vil da gi mindre estimeringsfeil i tilstandene. I et ulineært Kalman filter benyttes en ulineær modell som beskriver systemet.



Figur 3: Ulineært Kalman filter

I denne oppgaven er det brukt K_f som i et lineært Kalman filter. Verdien for K_f er konstant selv om u endrer seg. Modellen som er brukt er Storakaas kontinuerlige ulineære modell for slugging

Beregning av Kalman filterets forsterkning K_f

Kalman filterets forsterkning ble beregnet med Matlab funksjonen *kalman*. Denne funksjon bruker en tilstandsrom-modell med målestøy (v) og prosessstøy (w)

$$\dot{x} = Ax + Bu + Gw \quad (3)$$

$$y = Cx + Du + Hw + v \quad (4)$$

For å estimere både tilstander og forstyrrelser med Kalman filteret ble x -vektoren satt til:

$$x = \begin{bmatrix} \text{tilstander} \\ \text{forstyrrelser} \end{bmatrix} \quad (5)$$

2.2.3 LQG regulator

En LQG regulator bruker estimerte tilstander til input, og kan skrives på formen (Skogestad og Postlethwaite2001):

$$u(t) = -K_r \hat{x}(t) \quad (6)$$

$$\hat{x}(t) \in R^n, \quad u(t) \in R^m \quad \text{og} \quad K_r \in R^{m \times n}$$

K_r blir beregnet slik at den gir den optimale $u(t)$ som minimerer kostfunksjonen:

$$J = E \left\{ \lim_{T \rightarrow \infty} \frac{1}{T} \int_0^T [x^T Q x + u^T R u] dt \right\} \quad (7)$$

Q og R er vektingsmatriser

Hvis LQG regulatorene kun bruker estimatene fra Kalman filteret til input vil regulatoren bare ha forsterkning (ren P-regulator). Integral virkning er ofte ønskelig for å fjerne stasjonæravvik. Dette kan gjøres ved å gi et eller flere målepunkt med integral virkning, i tillegg til estimatene fra Kalman filteret som input til regulatoren. $\hat{x}(t)$ vil da bli:

$$\hat{x} = \begin{bmatrix} \text{tilstander} \\ \text{forstyrrelser} \\ \text{målepunkt} \end{bmatrix} \quad (8)$$

Beregning av parametere for LQG regulator, K_r

Til å beregne den optimale forsterkningen K_r , for LQG regulatoren ble Matlab kommandoen *lqr* brukt. Denne kommandoen bruker A og B matrisa i tilstandsrom-modellen og vektings matrisene Q og R til å beregner den optimale forsterkningsmatrisen som minimerer kostfunksjonen (ligning 7). Regulatoren blir tunet med vektingsforholdet mellom enhetsmatrisene Q og R.

Beregning av parametere for LQG regulator med integral virkning

Ved LQG regulering med integral virkning må \hat{x} -vektoren i tillegg til estimatene fra Kalman filteret inneholde et målepunkt med integral virkning, som vist i ligning (8).

Matlab kommandoen *lqr* ble også brukt til å beregne parameterene til LQG regulatoren med integral virkning. C_I og D_I er verdiene fra C- og D- matrisen i tilstandsrom-modellen for målepunktet med integral virkning. A' - og B' - matrisen som blir brukt til å beregne de optimale parameterene til LQG regulatoren med integral virkning blir da:

$$\begin{bmatrix} \dot{x} \\ -y_I \end{bmatrix} = A' \begin{bmatrix} \text{tilstander} \\ \text{forstyrrelser} \\ 0 \end{bmatrix} + B'u \quad (9)$$

$$A' = \begin{bmatrix} A & 0 \\ -C_I & 0 \end{bmatrix} \quad (10)$$

$$B' = \begin{bmatrix} B \\ -D_I \end{bmatrix} \quad (11)$$

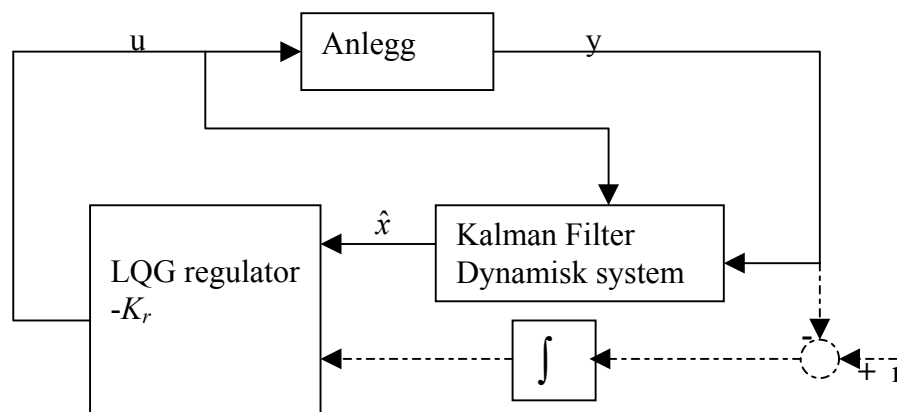
$$\dot{x} \in R^n, \quad u \in R^m, \quad y_I \in R^{p_I}, \quad A \in R^{n \times n}, \quad B \in R^{n \times m}, \quad C_I \in R^{p_I \times n}, \\ D_I \in R^{p_I \times m}, \quad A' \in R^{(n+p_I) \times (n+p_I)} \quad \text{og} \quad B' \in R^{(n+p_I) \times m}$$

Vektings forholdet mellom Q' og R' gir nå forholdet mellom forsterkning og integral virkning. De to matrisene vil ha formen:

$$Q' = \begin{bmatrix} 0 & 0 \\ 0 & 1 \end{bmatrix} \begin{matrix} n & p_I \\ n & p_I \end{matrix} \quad (12)$$

$$R' = k \cdot I(p \times p) \quad (13)$$

2.2.4 LQG reguleringsstruktur



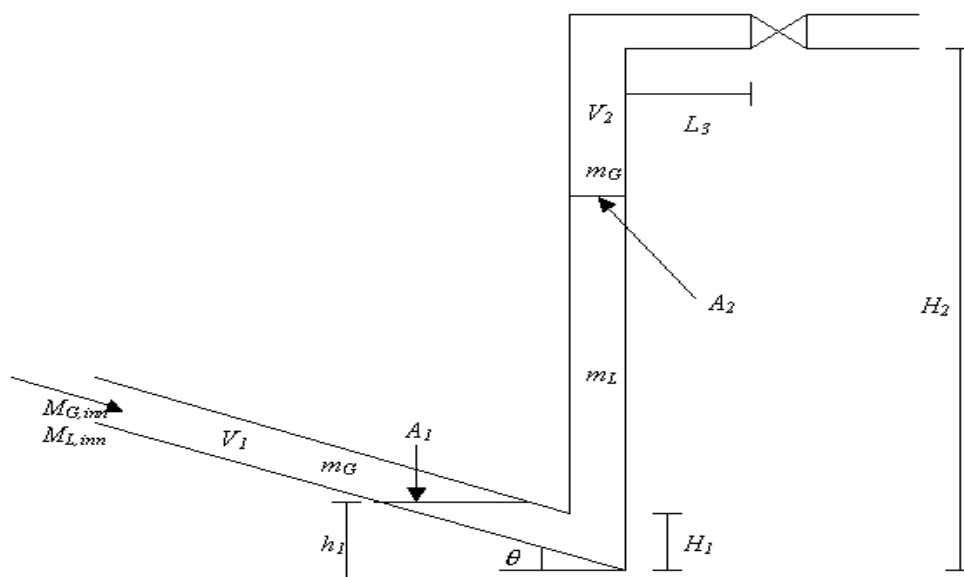
Figur 4: LQG reguleringsstruktur med og uten integral virkning.

Figur 4 viser LQG reguleringsstruktur med og uten integral virkning. De stiplede linjene angir integral delen. LQG regulatorens input kommer fra et Kalman filter som estimerer tilstandene og eventuelt målepunkt med integral virkning.

3 Modeller

3.1 Storkaas modell

Tradisjonelle modeller for flerfase strømning er ofte bygget opp av partielle-differensial ligninger. Diskretisering av slike modeller gir et stort sett av ODE-ligninger. Reguleringsanalyser og reguleringsdesign blir unødvendig kompliserte på grunn av den store tilstandsdimensjonen. Av denne grunn er det ønskelig å jobbe med en modell som beskriver systemet godt med så få tilstander som mulig.



Figur 5: Illustrerer føderør, bunnpunkt av riseren, riser og chokeventil

Modellen som er brukt i oppgaven er utviklet av Storkaas og Skogestad. Geometrien til modellen er vist i figur 2. Vedlegg 1 inneholder notasjon, ligninger, antagelser og kommentarer til ligningene til modellen. Det er en forenklet ulineær modell med tre tilstander, som beskriver gravitasjons induisert slugging. De tre tilstandene i modellen er masse av gass i volum 1 og 2 og mengde av væske i riser (m_{G1} , m_{G2} og m_L).

Storkaas modell er kontinuerlig, og beskriver både slugg- og stasjonær strømning. Disse egenskapene er ønskelig ved testing av reguleringsdesign, og i reguleringsstrukturer som bruker en modell til å estimere eller prediktere. En mer detaljert beskrivelse kan leses i artikkelen til Storkaas og Skogestad (2002).

3.2 OLGA-2000

OLGA-2000 er basert på et software utviklet i 1983 av IFE for Statoil. Siden den tid har programmet kontinuerlig blitt forbedret med eksperimentelle data fra stor skala to-fasestrømnings laboratorium til SINTEF. Numeriske forbedringer er utført av IFE i samarbeid med olje selskaper.

Programmet er beregnet for simulering av flerfasestrømning. Programmets styrke ligger i de dynamiske simuleringens mulighetene. Flerfase strømning er et dynamisk

fenomen og bør av denne grunn også bli modellert dynamisk. I OLGA-2000 kan en gjøre dynamiske simuleringer av rørlednings nettverk med prosessenheter som kompressorer, pumper, varme vekslere, seperatorer, chokeventiler og regulatorer. Det er to grunnleggende strømnings regimer: boble- og slugg-strømning. OLGA-2000 kan simulere hydrodynamisk slugging og gravitasjons induisert slugging. Hovedanvendelses områder er studier av rørlednings design, drift og sikkerhets analyser.

3.3 OLGA-2000 – Simulink link

OLGA-2000 blir nå levert med en OLGA-Matlab ”toolbox” som gjør de mulig å bruke de to programmene sammen. I denne oppgaven er reguleringsstrukturene laget i Simulink og testet mot en OLGA-2000 modell. For å få linket de to programmene sammen må OLGA Matlab ”toolbox” være installert og ”toolbox” mappen inkludert i Matlab ”path”. OLGA-toolbox blokksett er da tilgjengelig i Simulinks arkiv. OLGA-toolbox blokksett inneholder to blokker:

OLGA blokk
OLGA ”profile viewer block”

OLGA blokken inkluderer OLGA serveren i Simulink strukturen. Dette gjør det mulig å gjøre OLGA-2000 simuleringer i Simulink modellen. Simulink modellen kontrollerer OLGA-2000 simuleringen. Alle de mulige utgangs variable i OLGA-2000 bli sendt ut i Simulink. OLGA-2000s input kan kontrolleres i Simulink og sendes til OLGA-2000 modellen. Det er ingen begrensning i antall data som kan bli utvekslet mellom OLGA-2000 og Simulink.

Strukturen til input parameterne må inneholde følgende punkter:

InputFile *Matlab stringen identifiserer OLGA-2000 input fil*

OLGAConnect stringen identifiserer computeren hvor OLGA-2000 kjøres fra.

I reguleringsstrukturen brukes følgende valgfrie input parametere:

OLGACommand DOS kommando som starter OLGA fra Matlab

TrendVariables Stringen identifiserer variablene som ønskes ut fra OLGA-2000 simuleringen

*InputVariables.
Definition* Stringen identifiserer variabler som skal bli sendt fra Matlab til OLGA-2000

Dimensions Vektor som angir størrelsen for hver variabel gruppe
StartValues 1-D vektor som inneholder start verdiene for inputvariablene.

SampleTimes En matrise med to kolonner som angir samplingstiden/raten, og døtiden mellom de OLGA-2000 og Simulink

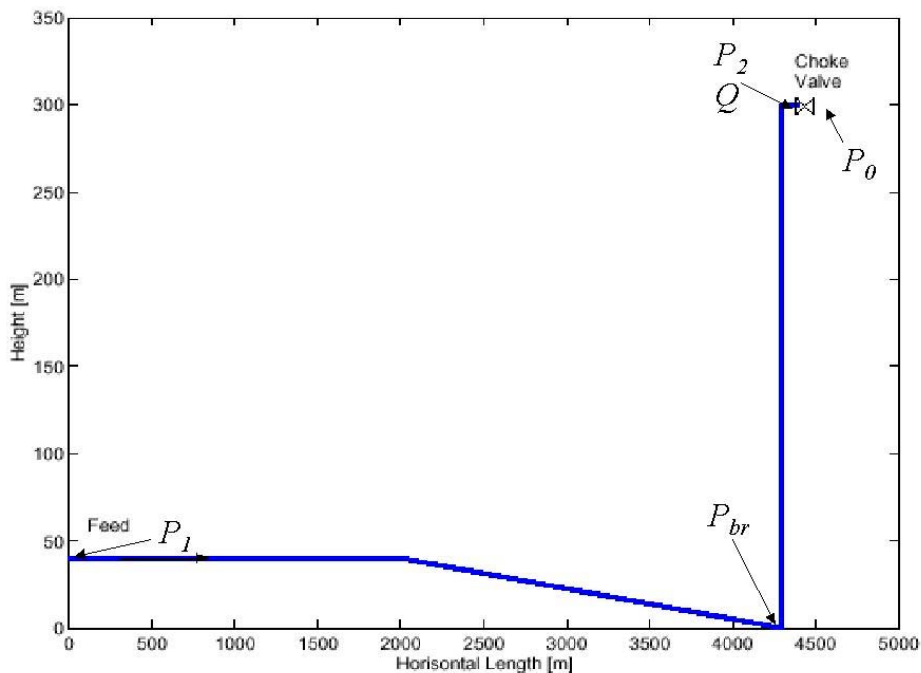
3.4 Oppgave case

I oppgaven er det sett på de tre tilstandene i Storkaas modell: m_L , m_{G1} og m_{G2} . Når det refereres til alle tre tilstandene brukes ofte: x for tilstandene i Storkaas modell og x_{est} for Kalman filterets estimerte tilstander.

Tabell 1: Målepunkter og forstyrrelser for de to modellene

Symbol og benevning	Forstyrrelse/ Målepunkt	Forklaring
P_1 [bar]	målepunkt	Oppstrømstrykk 4500m foran bunnpunkt til riseren
P_{br} [bar]	målepunkt	Oppstrømstryk i bunnpunktet til riseren
P_2 [bar]	målepunkt	Nedstrømstrykk foran chokeventil
Q [m ³ /s]	målepunkt	Total volum strøm gjennom chokeventil.
P_0 [bar]	Forstyrrelse	Trykk nedstrøms etter chokeventil. Målbar forstyrrelse
$m_{L_{inn}}$ [kg/s]	Forstyrrelse	Massestrøm av gass inn i føderøret. Ikke målbar kun brukt i Storkaas modell
$m_{G_{inn}}$ [kg/s]	Forstyrrelse	Massestrøm av væske inn i føderøret. Ikke målbar kun brukt i Storkaas modell
$m_{Tot_{inn}}$ [kg/s]	Forstyrrelse	Total massestrøm inn i føderøret. Ikke målbar kun brukt i OLGA-2000 modellen

Da trykket etter chokeventilen også kan variere ble det sett på målepunktet $P_2 - P_0$ (DP). Så lenge det ikke er sett på forstyrrelser i P_0 er dette målepunktet i realiteten P_2 . Målepunktet P_1 er det kun sett på i OLGA-2000 modellen, da Storkaas modell i denne oppgaven er tunet oppstrømstrykk til bunnpunktet i riseren. De tre målepunkts kombinasjonene det er sett på for LQG regulering er: P_1 & DP (kun OLGA-2000 modell), P_{br} & DP og Q & DP . I grafer er regulering med målepunktene P_1 & DP gitt med grønne grafer, P_{br} & DP gitt med blå grafer og Q & DP gitt med røde grafer. I Storkaas modell er det også sett på to ikke-målbare forstyrrelser: $m_{G_{inn}}$ og $m_{L_{inn}}$. I OLGA-2000 er massestrømmen inn gitt av en flash. Av denne grunn kan man kun se på $m_{Tot_{inn}}$ som ikke-målbar forstyrrelse for denne modellen.



Figur 6: geometri til riser systemet og målepunkter figuren er hentet fra Storakaas og Skogestad (2002)

Figuren viser geometrien og målepunkter i de to modellene.

LQG reguleringsstruktur Matlab og OLGA-2000

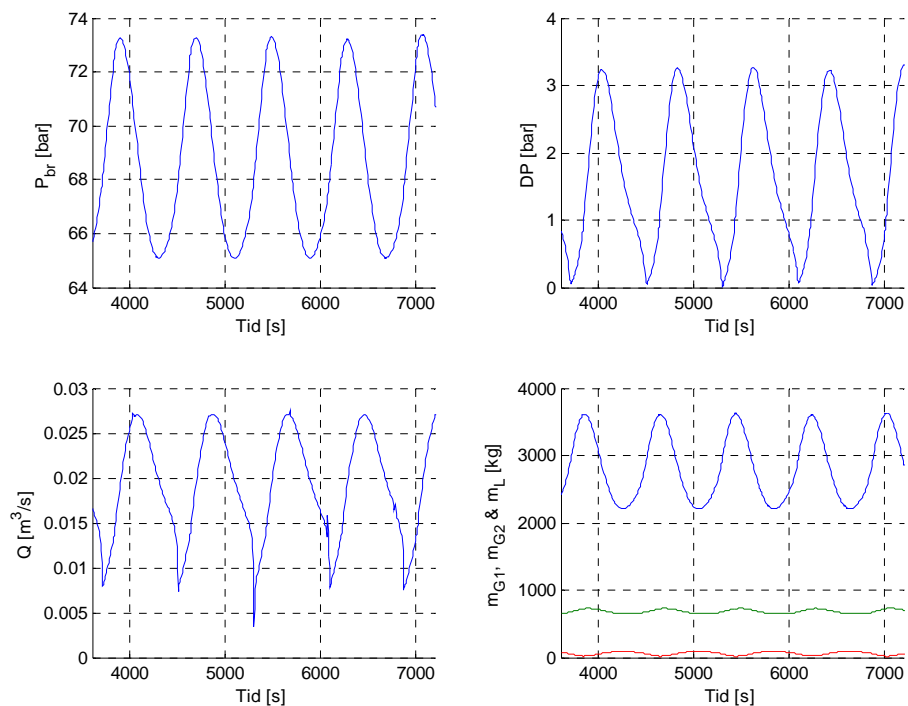
Reguleringsstrukturene ble laget i Matlabs Simulink. Det er sett på LQG regulering med og uten integral virkning. For å estimere tilstandene er det sett på lineært og ulineært Kalman filter. Det er også sett på hvordan forstyrrelser virker på LQG regulering med integral virkning med og uten forstyrrelse estimering. Chokeventilen i Simulink modellen har en åpnings- og lukningstid på 60s.

Forsterkningen til Kalman filteret K_f og regulator parameterene til LQG regulatoren K_r ble beregnet i Matlab. Matlab script er gitt i Vedlegg 2. Simulering av både Storakaas modell og OLGA-2000 modell ble gjort i Simulink. Storakaas modell ble linket til Simulink med en S-funksjon og OLGA-2000 modellen ble linket til Simulink med en OLGA blokk

For regulering ble A, B, C og D matrisene til tilstandsrom-modellen funnet ved å linearisere modellen ved ventil åpning 0.3. Det operasjonspunktet ble valgt fordi dette gjorde det mulig å få en relativt rask stabilisering ved settpunkt 1 bar DP. Ved linearisering rundt lavere operasjonspunkt må regulatoren designes tregere for at den ikke skal bli ustabil ved settpunkt 1 bar DP. Dette var spesielt et problem for OLGA-2000 modellen.

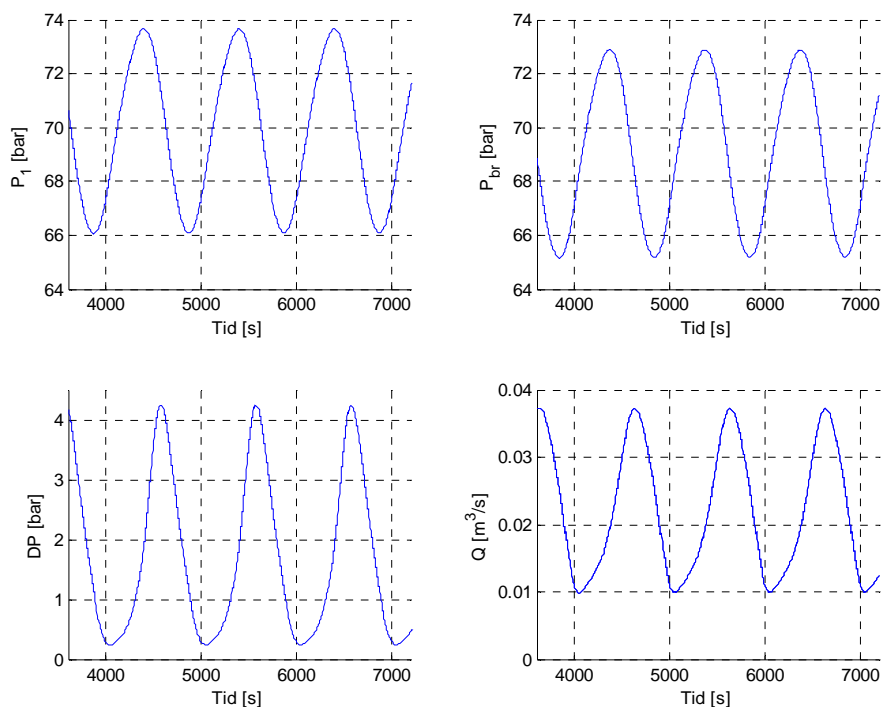
3.5 Åpen sløyfe simulering av de to modellene

Storkaas modell simulerer slugg-strømning i steady state tilstand. OLGA-2000 modellen starter ikke i steady state, så det tar litt tid før simuleringen med denne modellen når steady state. For å sammenligne åpen sløyfe simuleringene av de to modellene er grafene vist fra 1 til 2 timer.



Figur 7: Simulering av åpen sløyfe fra 3600 til 7200 sekunder av Storkaas modell med ventil åpning 0.2.

Figur 7 viser hvordan de tre målepunktene P_{br} , DP og Q svinger med tiden. Det er også vist hvordan de tre tilstandene i modellen varierer med tiden. m_{G1} er vist med grønn graf, m_{G2} er vist med rød graf og m_L er vist med blå graf.



Figur 8: Simulering av åpen sløyfe fra 3600 til 7200 sekunder av OLGA-2000 modell med ventil åpning 0.2

Figur 8 viser de fire målepunktene som ble sett på i OLGA-2000 modellen. P_l og P_{br} har forholdsvis lik bølgelengde og amplitude, men trykket er litt høyere lenger ut i rørledningen.

De to modellene gir en rimelig lik simulering av riser systemet i åpen sløyfe. Storkaas modell har litt kortere bølgelengde enn hva OLGA-2000 gir. Amplituden på svingningene til DP og Q i Storkaas modell er mindre enn hva OLGA-2000 gir, mens amplituden til P_{br} er meget lik for de to modellene. Begge modellene viser at en har slugg-strømning i riser systemet med ventil åpning 0.2.

4 Resultater og Diskusjon

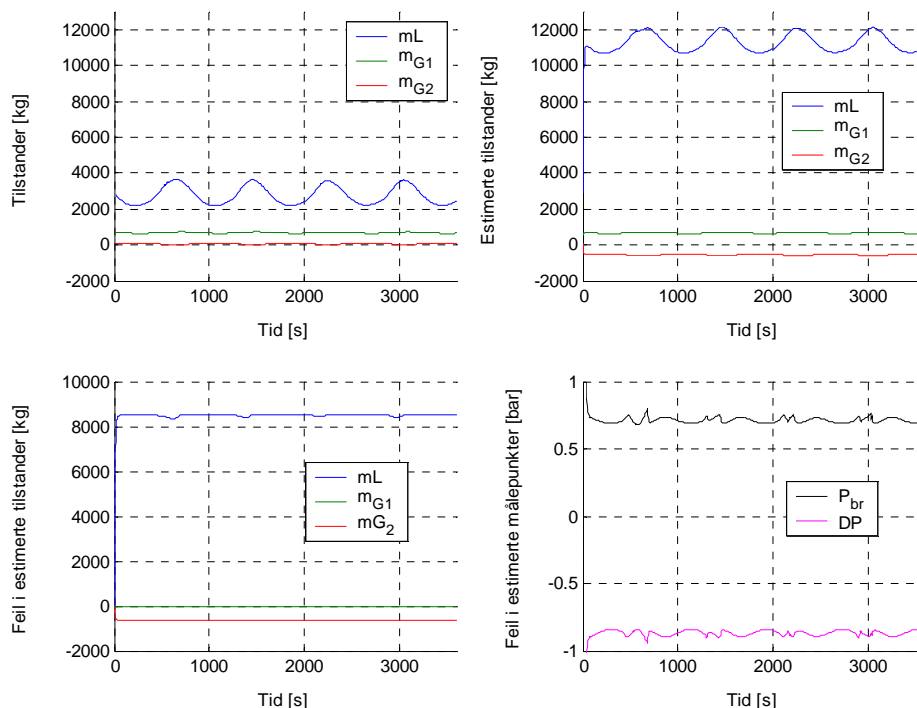
4.1 Kalman filter

Variansen i prosessstøy for tilstandene ble satt til 2% av tilstandene for begge modellene. Hvis forstyrrelsene ikke skal estimeres, settes variansen for de lik 0. Ved forstyrrelse estimering ble variansen av forstyrrelsene satt til 2% av forstyrrelsen i Storakaas modell. I OLGA-2000 modellen ble variansen av forstyrrelsen satt til 0.002 av forstyrrelsen ved forstyrrelse estimering.

Variansen i målestøy ble for trykkmålinger satt til 0.1 bar og for måling av total volumstrøm gjennom ventilen ble variansen satt til $0.001 \text{ m}^3/\text{s}$.

4.1.1 Lineært Kalman filter

I det lineære Kalman filteret ble det brukt to målepunkter og ventil åpningen til å estimere tilstandene. De to målepunktene det ble sett på var P_{br} & DP (Oppstrømstryk i bunnpunktet til riseren & trykk over chokeventilen) og Q & DP (Total volum strøm gjennom chokeventil & trykk over chokeventilen), mens ventil åpningen var konstant 0.20. Modellen til Storakaas ble linearisert om operasjonspunktet for å gi A, B, C og D matrisene til tilstandsrom-modellen. Samme modellen ble brukt for å simulere riser systemet.



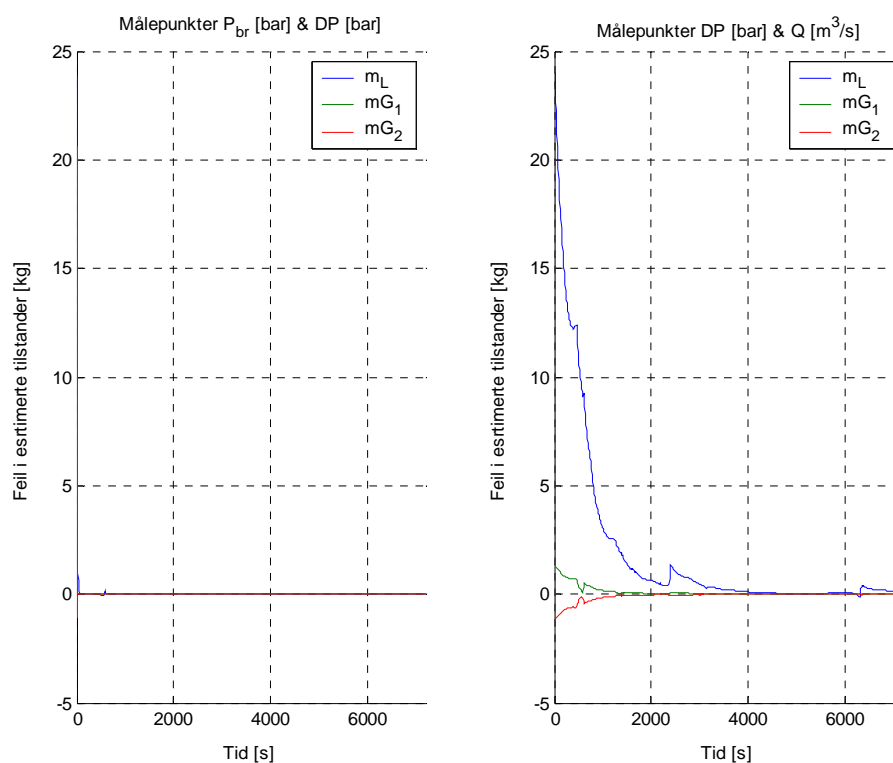
Figur 9: Reelle tilstander, estimerte tilstander, feil i estimerte tilstander og feil i estimerte målepunkter i lineært Kalman filter med målepunktene P_{br} & DP . Ventil åpningen er konstant 0.2.

Figur 9 viser at det lineære Kalman filteret estimerer m_L meget dårlig. Feilen er over 8000 kg, og den estimerte av m_{G2} ligger under den reelle verdien. Det er kun m_{G1} av tilstandene Kalman filteret klarer å estimere godt. I figur 9 er det også tatt med estimerings feilen av målepunktene ($y - y_{est}$). Ved å bruke målepunktene Q og DP blir feilen på de estimerte tilstandene like stor.

Lineært Kalman filter estimerer målepunktene relativt godt, men gir en meget stor feilestimering av tilstandene. I LQG regulering blir Kalman filter benyttet som en tilstandsestimator, og av denne grunn er lineært Kalman filter uegnet i denne sammenheng. En grunn for at lineært Kalman filter egner deg seg dårlig til å estimere systemets tilstander er at det blir estimert rundt en grensesyklus som er for langt unna selve lineariserings punktet. Dette vil si at en lineær modell ikke er representativ, og det er derfor forsøkt med et ulineært Kalman filter.

4.1.2 Ulineært Kalman filter

Et ulineært Kalman filter bruker en ulineær modell til å estimere de deriverte tilstandene og målepunktene. Storkeas sin modell ble brukt i det ulineære Kalman filteret. Samme modellen ble benyttet til å simulere riser systemet. Strukturen til et ulineært Kalman filter er gitt i teoridelen fig.3.



Figur 10: Feil i estimerte tilstander med ulineært Kalman filter med målepunktene P_{br} & DP til venstre og målepunktene DP & Q til høyre. Ventil åpningen er konstant 0.2

Ved $t = 0$ er feilen i estimert tilstand lik for de to Kalman filterene. Feilen går meget raskt mot null med målepunktene P_{br} & DP og etter 2000s er feilen til de estimerte tilstandene under $1e-4$. Ved bruk av målepunktene DP & Q bruker filteret vesentlig lengere tid å konvergere start feilen, m_L er den tilstanden filteret har størst problem med å konvergere og feilen til denne tilstanden konvergerer jevnt de første 2000s.

Her er estimeringsfeilen 0.5. Fra 2000s og ut er estimeringsfeilen til de tre tilstandene lavere enn 1. Ved 4000s har feilen til m_L konvergert og etter dette er feilen til tilstandene 0.5 eller lavere. Ved estimering av målepunkter gir begge filterne kun avvik av liten grad. Filteret som bruker P_{br} & DP som målepunkter estimerer også målpunktene mer korrekt.

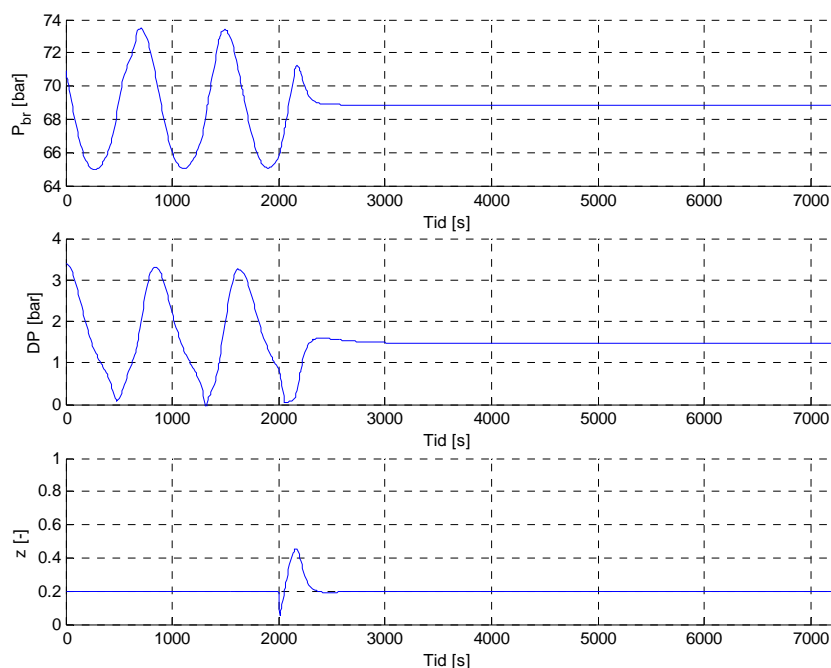
Et lineært Kalman filter er uegnet som estimator for LQG regulering av systemet. Det estimerer målepunktene relativt godt, men gir meget store feil på estimering av tilstandene. Ulineært Kalman filter med P_{br} og DP som målepunkter gir raskt en meget god estimering av tilstandene og målepunktene. Ved bruk av målepunktene DP & Q vil en også oppnå en relativt god estimering, men det tar tid før filteret oppnår lav estimeringsfeil. Av denne grunn bør filteret skrus på en stund før reguleringen begynner. Det ble videre i oppgaven kun jobbet med ulineært Kalman filter for LQG reguleringen.

4.2 LQG regulering

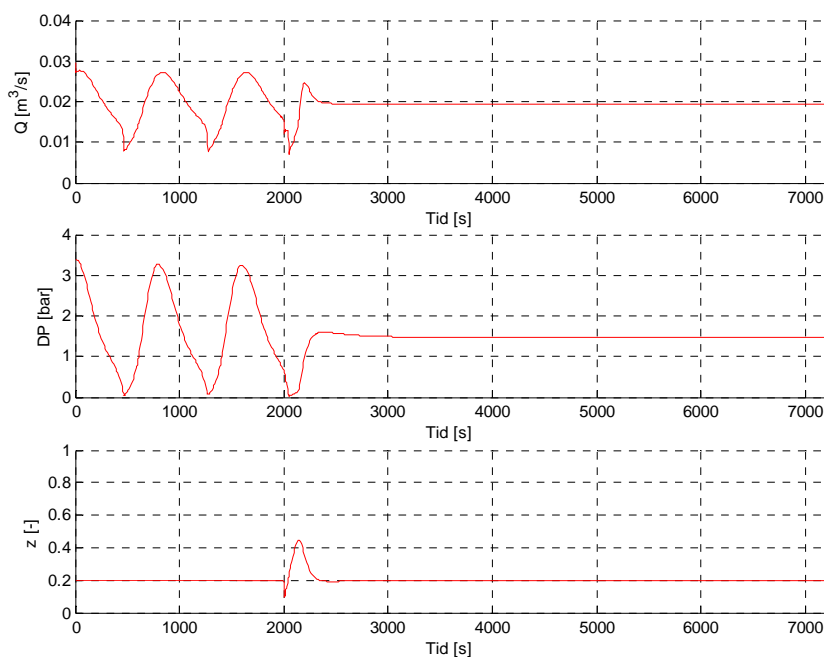
Med ulineært Kalman filter som estimator ble det implementert en LQG reguleringsstruktur. Uavhengig av hvilken modell eller målepunkt som er brukt er vektingsforholdet $R/Q=80e8$ for LQG regulatorene i denne oppgaven.

4.2.1 LQG på Storkaas modell

Storkaas modell ble brukt til å simulere riser systemet, med målepunktene P_{br} & DP og Q & DP for Kalman filteret.



Figur 11: LQG regulering av Storkaas modell med målepunkter P_{br} & DP

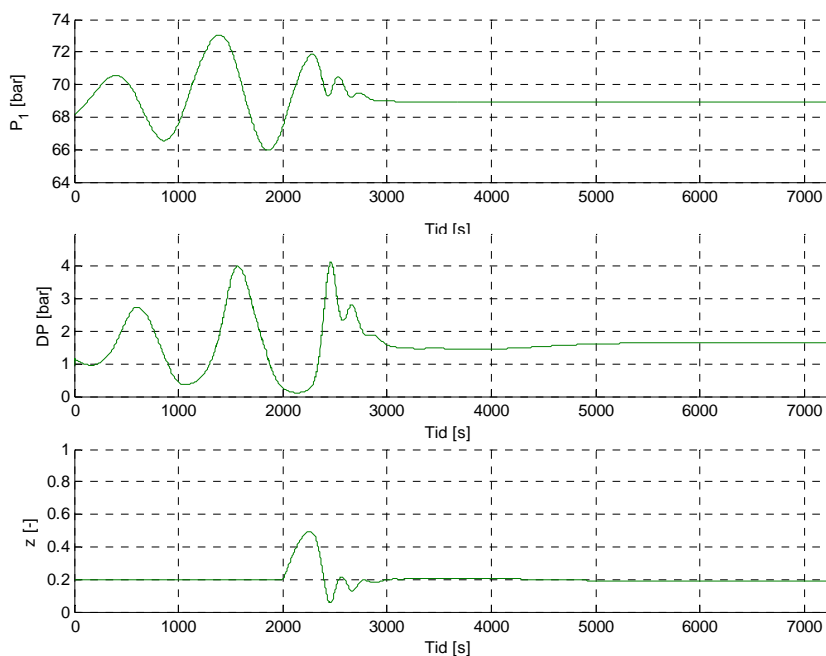


Figur 12: LQG regulering av Storkaas modell med målepunkter Q & DP

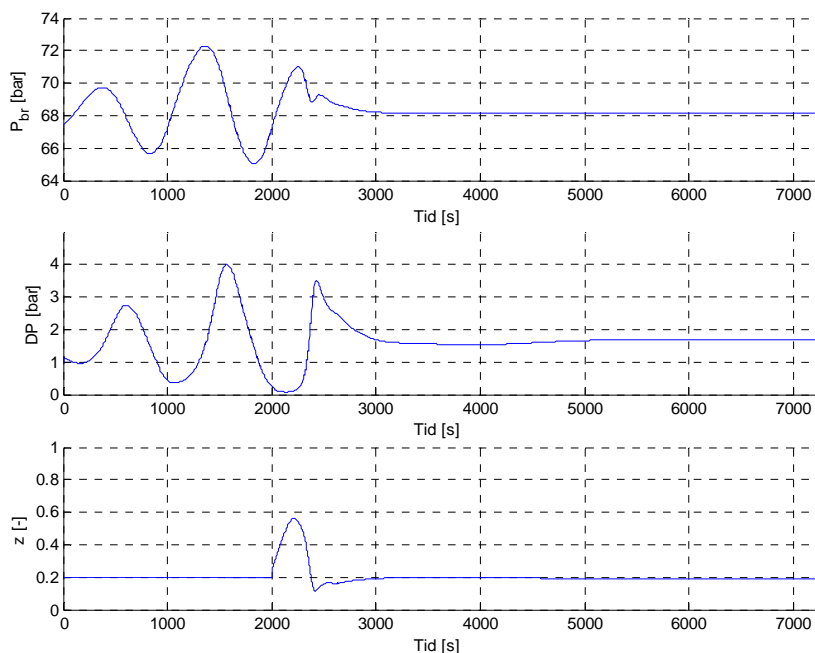
Figurene 11 og 12 viser LQG regulering av Storkaas modell. Regulatoren skrus på ved tiden 2000s. Systemet stabiliseres raskt med denne reguleringsstrukturen, både med målepunktene P_{br} & DP og Q & DP . P_{br} og Q gir begge litt overskyt, men stabiliserer seg raskt. DP er tilnærmet identisk i de to tilfellene; den gir minimal overskyt og oppnår stabilitet nesten likt med Q og P_{br} . Ventil bruken er også meget lik for de to tilfellene. Grafene viser en moderat ventil bruk. LQG stabiliserer Storkaas modell godt både med P_{br} & DP og Q & DP som målepunkter for de ulineære Kalman filterene.

4.2.2 LQG på OLGA-2000 modell

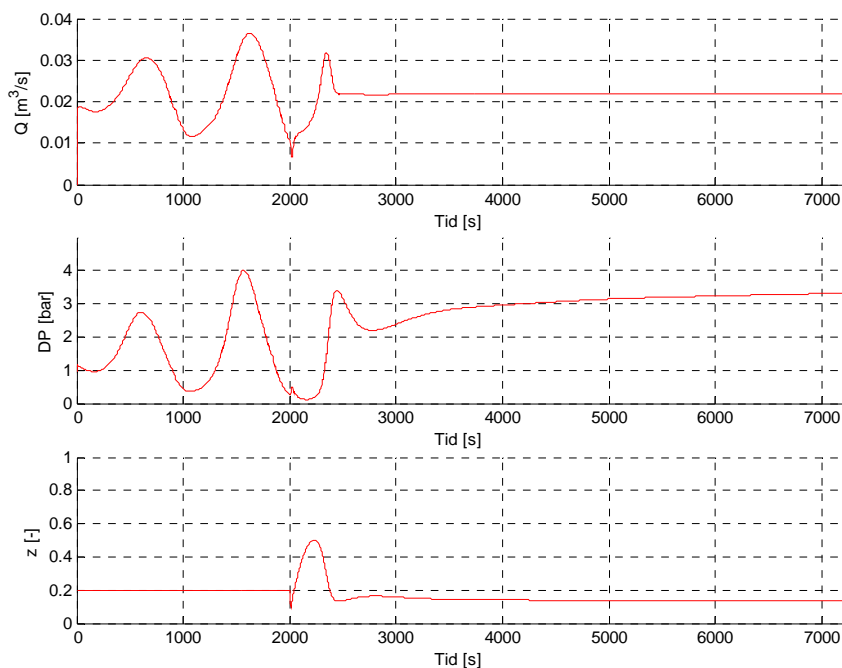
LQG reguleringsstrukturen ble også testet på OLGA-2000 modellen. Her ble også målepunktet P_1 & DP (Oppstrømstrykk 4500m foran bunnpunkt til riseren & Trykk over chokeventilen) tatt med i tillegg til P_{br} & DP og Q & DP .



Figur 13: LQG regulering av OLGA-2000 modell med målepunkter P_1 & P_2



Figur 14: LQG regulering av OLGA-2000 modell med målepunkter P_{br} & P_2



Figur 15: LQG regulering av OLGA-2000 modell med målepunkter Q & P_2

Ved bruk av trykkene som målepunkter stabiliserer systemet seg relativt raskt. Med målepunktene P_{br} & DP blir det en mindre overskyt og stabilt trykk nås med en mer jevn kurve enn hva som er tilfelle med P_1 & DP . Tiden det tar å nå stabilitet er nesten identisk for de to målepunktene. Ventil bruken er moderat i begge tilfellene. Ved å bruke målepunktene Q & DP stabiliseres Q raskt med litt overskyt, men DP gir et stasjonæravvik. Stasjonæravviket skyldes at LQG regulatoren kun har forsterkning og ingen integral virkning.

DP & Q er ikke egnet til å stabilisere riser systemet med OLGA-2000 modell på grunn av stasjonæravvik. Trykket i bunnpunktet av risern gir litt mindre svingninger ved stabilisering enn hva en trykk måling 4500m unna riseren gir. Begge trykk målingene er velegnet for bruk av LQG regulering av systemet.

OLGA-2000 modellen gir mer overskyt og svinger mer ved stabilisering enn Storkaas modell. At OLGA-2000 svinger mer ved stabilisering er naturlig da den inneholder mer høyordens dynamikk enn Storkaas modell. Av denne grunn tar det lengere tid å oppnå stabilitet med denne modellen. Målepunktene Q & DP i Storkaas modell gir mindre stasjonæravvik enn OLGA-2000 modellen. Når målepunktet Q benyttes blir systemet mer sensitivt for modell feil.

Det er ikke lagt ned mye arbeid å fintune LQG regulatoren, da regulering uten integral virkning gir stasjonæravvik. I tillegg er det mer komplisert å gjøre settpunkts endringer ved å bruke tilstander enn å bruke målepunkter.

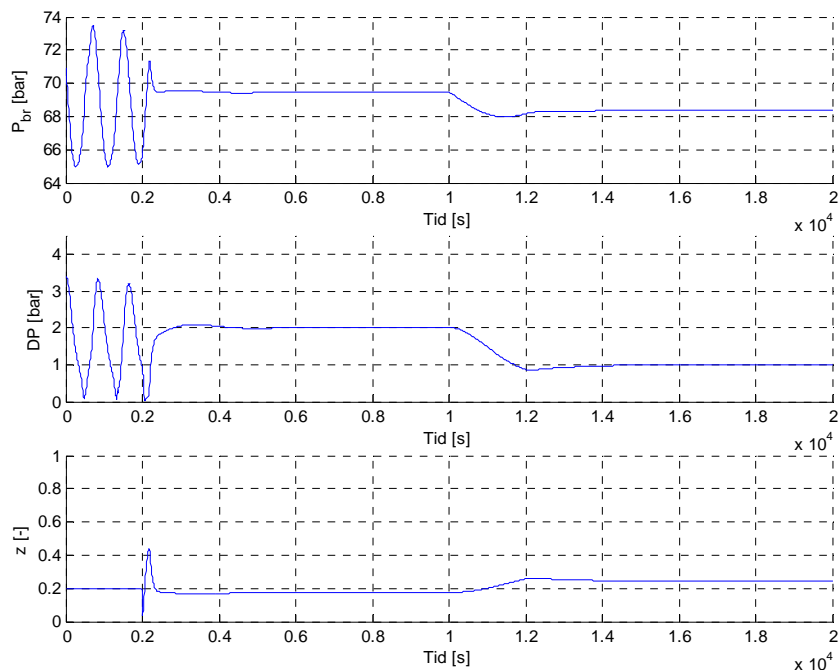
4.3 LQG regulering med integral virkning

Integral virkningen ble satt på målepunktet DP , fordi når DP blir lav, minker forsterkningen og det blir vanskelig å holde stabilitet. Ved forstyrrelser må parameterene som ikke er gitt et spesielt settpunkt forandre seg for å opprettholde stabil drift på det gitte settpunktet. Ved drift på lave trykk er det derfor ønskelig at forandringen ikke skjer med DP . Dette unngås ved å bruke DP som settpunkt.

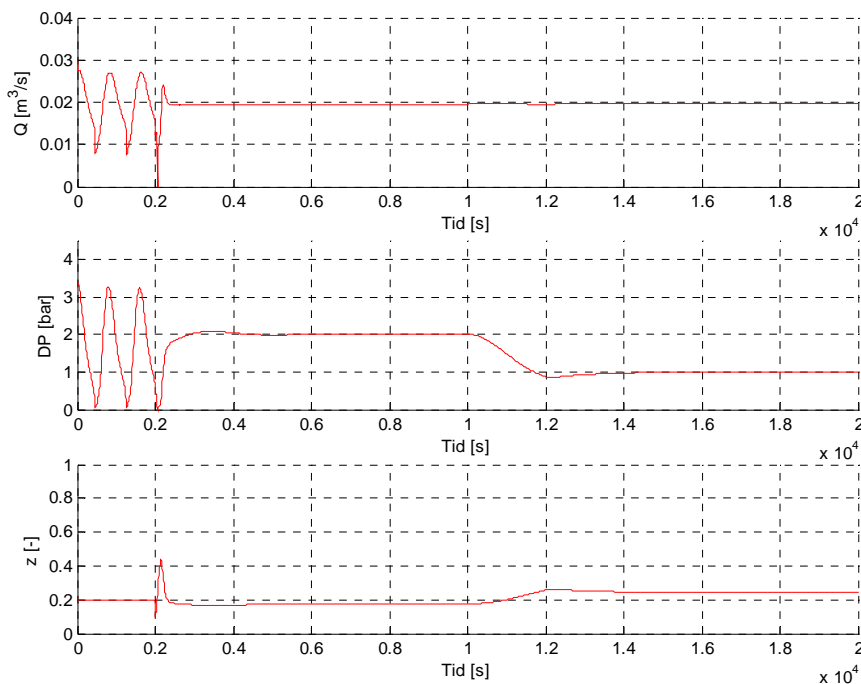
LQG regulatoren med integral virkning ble vektet $R'/Q' = 80e6$ uavhengig av hvilke målepunkt som er brukt i begge modellene.

4.3.1 LQG med integral virkning på Storkaas modell

LQG regulering med integral virkning på DP ga en god stabilisering og muligheter for settpunkts endringer på Storkaas modell.



Figur 16: LQG regulering med integral virkning av Storkaas modell med målepunkter P_{br} & DP



Figur 17: LQG regulering med integral virkning av Storkaas modell med målepunkter Q & DP

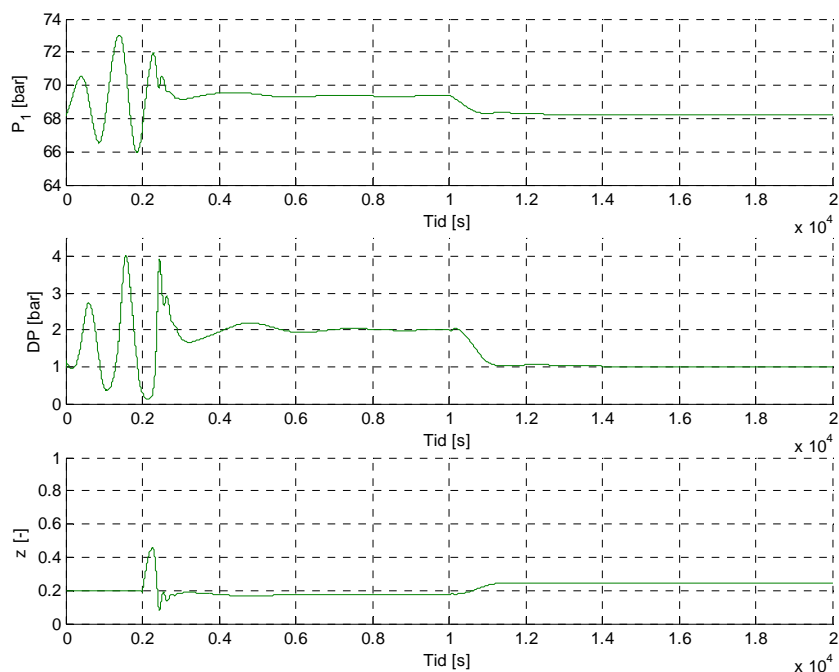
Figurene 16 og 17 viser LQG regulering med integral virkning av Storkaas modell med målepunktene P_{br} & DP og Q & DP . Regulatoren blir satt på ved tiden 2000s med settpunkt 2 bar for DP . Ved tiden 10 000s er det en settpunkts endring til 1 bar. Grafene for DP er nesten helt identiske for de to målepunktene P_{br} & DP og Q & DP . Reguleringsstrukturen stabiliserer slugg-strømningen raskt, uten svingninger og overskyt i DP . Settpunkts endringen tar ca 2000s. Målepunktene uten integral virkning, P_{br} og Q , gir litt overskyt men stabiliserer seg også raskt. Begge reguleringsstrukturene gir en moderat ventil bruk.

Integral virkningen må tunes litt tregt for å unngå ustabilitet på grunn av systemets trege dynamikk. Ved settpunkts endringen er det nesten ingen synlig endring i Q . At Q har tilnærmet lik verdi for de to settpunktene gjør dette målepunktet uegnet for integral virkning.

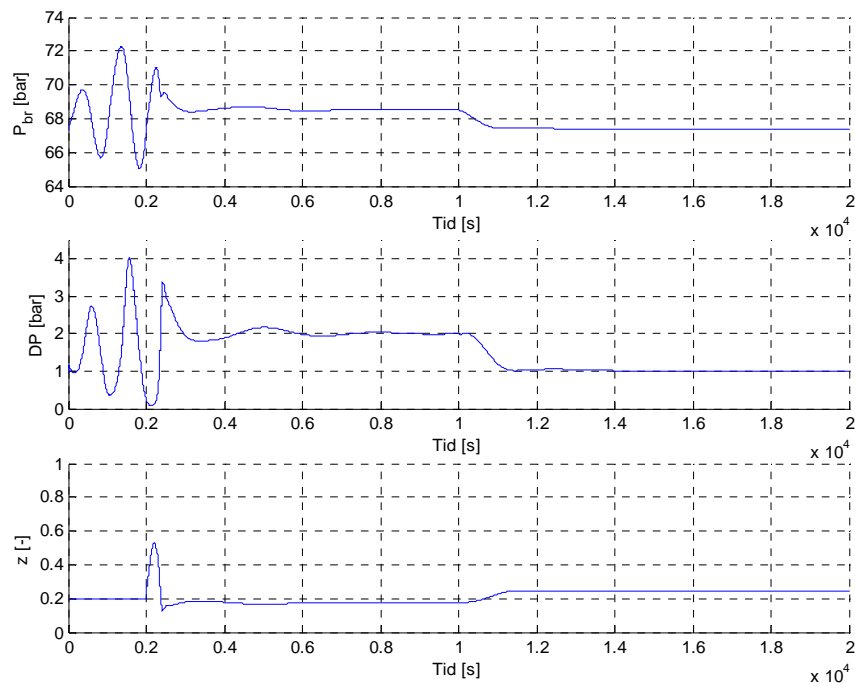
Systemet stabiliseres også bra til settpunkt 1 DP , DP gir her litt overskyt. I vedlegg 3 er det vist stabilisering ved 1 bar DP og en forstyrrelse uten forstyrrelse estimering ved 10 000s.

4.3.2 LQG med integral virkning på OLGA-2000 modell

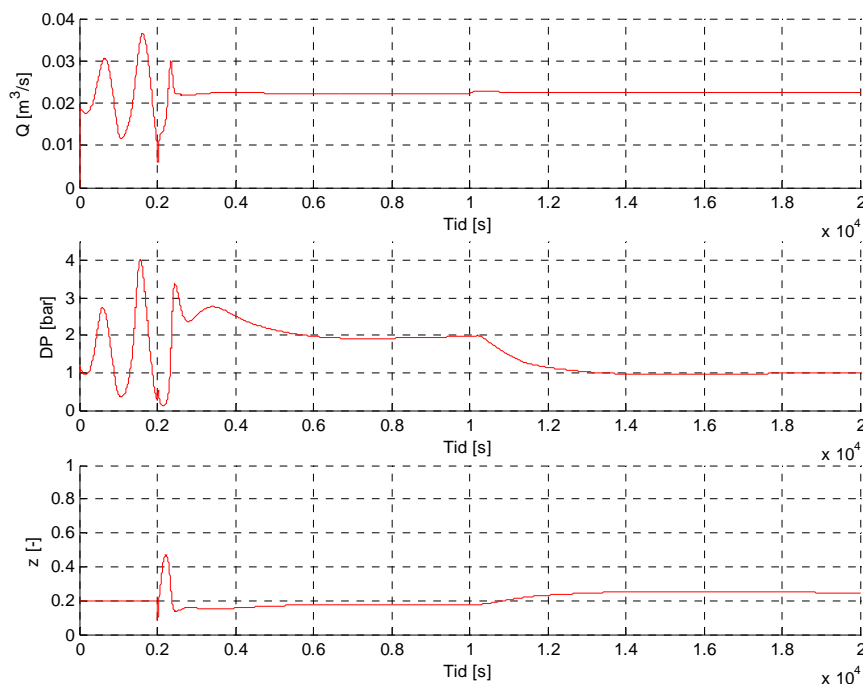
LQG reguleringsstrukturen med integral virkning ble også testet på OLGA-2000 modellen.



Figur 18: LQG regulering med integral virkning av OLGA-2000 modell med målepunkter P_1 & DP



Figur 19: LQG regulering med integral virkning av OLGA-2000 modell med målepunkter P_{br} & DP



Figur 20: LQG regulering med integral virkning av OLGA-2000 modell med målepunkter Q & DP

Figurene 18, 19 og 20 viser LQG regulering med integral virkning av OLGA-2000 modellen, med de tre målepunkts kombinasjonene. Regulatoren blir skrudd på ved tiden 2000s med settpunkt 2 bar DP . Ved tiden 10 000s er det en settpunktsendring til 1 bar. Målepunktene P_{br} & DP og P_l & DP er vesentlig raskere både til å stabilisere systemet og settpunktsendring enn hva som oppnås med Q & DP . Om oppstrømstrykk måles i riserens bunnpunkt eller 4500m ut i føderøret gir meget lik ytelse for reguleringsstrukturen. P_{br} kan se ut til å gi litt mindre overskyt og svingninger med lavere amplitude ved stabilisering enn P_l .

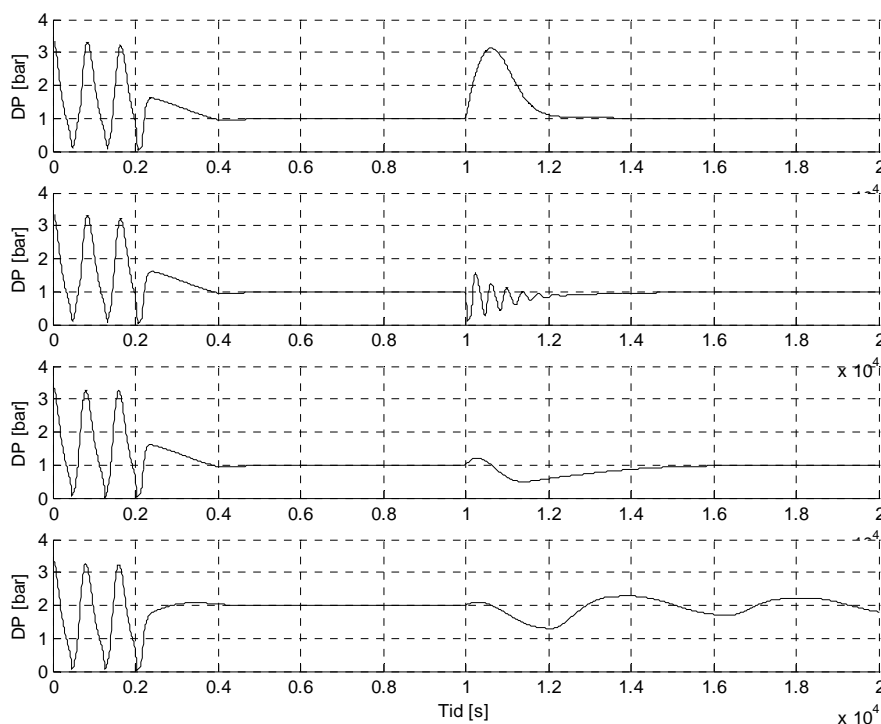
Reguleringsstrukturen stabiliserer slugg-strømningen også bra til 1 bar DP . Vedlegg 4 viser hvordan LQG regulering med integral virkning stabiliseres til settpunkt 1 bar DP med OLGA-2000 modellen. Ved 10 000s kommer det en forstyrrelse.

LQG regulering med integral virkning stabiliserer både Stor kaas og OLGA-2000 modellene med de tre målepunkts kombinasjonene. Integral virkning fjerner stasjonæravviket og settpunktet kan også forandres om ønskelig. Trykk målinger av oppstrøms- og nedstrømstrykk er de best egnede målepunktene. Det er best med målepunkt i bunnpunktet på riseren, men det gir nesten like god regulering med måling av oppstrømstrykk 4500 meter unna bunnpunktet. Hvis ikke oppstrøms trykk er tilgjengelig kan målepunktene Q og DP brukes, men både stabilisering og settpunktsendringer tar lengere tid med denne løsningen. LQG strukturen med integral virkning og målepunktene Q & DP gir raskere regulering enn hva som oppnås med en kaskadestruktur med samme målepunkt. Stor kaas (2003) sammenlignet resultatet oppnådd i denne oppgaven med en egen kaskadestruktur. I vedlegg 5 er aktuell graf vist. Som forventet gir OLGA-2000 modellen mer overskyt og svingninger enn

Storkaas modell ved stabilisering, men ved settpunksendringer er OLGA-2000 modellen raskere med trykkmålinger.

4.4 Forstyrrelser på LQG regulering med integral virkning

LQG reguleringen med integral virkningen stabiliserer begge modellene godt til settpunktene 1 og 2 bar. Den klarer også settpunksendringer. Det var derfor ønskelig å se på hvordan denne reguleringsstrukturen virker ved step forstyrrelser. Begge modellene og de tre målepunktene ble testet. Storkaas modellen ble testet med tre forstyrrelser, massestrøm av væske og gass inn i føderøret (mL_{inn} [kg/s] og mG_{inn} [kg/s]) og trykket etter chokeventilen (P_o [bar]). Massestrømmene ble sett på som ikke-målbare forstyrrelser, mens trykket etter chokeventilen ble sett på som målbart. I OLGA-2000 modellen er massestrøm inn i føderøret gitt av en flash. Av denne grunn ble det bare sett på en ikke-målbart forstyrrelse; total massestrøm inn i røret ($mTot_{inn}$ [kg/s]). Her ble også trykket etter chokeventilen sett på som målbart. Forstyrrelsene skulle ikke lage større over/underskyt enn 2 bar, eller skape svingninger som varer lengere enn 2000s. Hvis forstyrrelsen ikke ga kraftig utslag, men var treg til å nå settpunktet, måtte den være rimelig nær settpunktet etter 4000s. Det ble sett på to settpunkt 1 og 2 bar. Ved settpunkt 2 bar DP gir enkelte forstyrrelser svingninger med lav amplitude og lang bølgelengde. Det ble også satt en øvre grense for hvor store disse bølgene kunne bli. De fire grense tilfellene er vist i grafen nedenfor.



Figur 21: Toleransegrensene for forstyrrelsens utslag i DP

Figur 21 viser de fire toleransegrensene. Ovenfra og nedover vises: Overskyt 2 bar, svingninger i 2000s, treg til å nå settpunktet og svingninger med lav amplitude og lang bølgelengde.

4.4.1 Forstyrrelser på LQG med integral virkning uten forstyrrelse estimering på Storkaas modell

Massestrøm gass inn i føderøret er 0.3620 kg/s, massestrøm væske inn i føderøret er 8.6400 kg/s og trykket bak chokeventilen er 50 bar. Nedenfor er det vist tabeller på hvordan step forstyrrelser virker inn på LQG med integral virkning på Storkaas modell med målepunktene P_{br} & DP og Q & DP . Det ble sett på settpunkt 1 og 2 bar for DP . Resultater for 1 bar er vist i tabeller nedenfor. Dersom resultatene for 2 bar avviker blir dette bare kommentert. I vedlegg 3 er det vist utvalgte grafer fra resultatene omtalt i dette kapittelet.

Tabell 2: Step forstyrrelser med målepunkter P_{br} & DP med settpunkt 1 bar DP

Forstyrrelse	økning (+) reduksjon (-) [%]	Kommentar
mG_{inn}	+18% (0.362 0.427[kg/s])	Overskyt 2 bar
mG_{inn}	-18% (0.362 0.297[kg/s])	Svinger i 2000s
mL_{inn}	+60% (8.64 13.8[kg/s])	Svinger i 2000s
mL_{inn}	-24% (8.64 6.57[kg/s])	Overskyt nær 2 bar, ytterligere reduksjon gir feil i Storkaas modell
P_0	+4% (50 52[bar])	Underskyt 2 bar
P_0	-0.5% (5 49.75[bar])	Lite utslag, ytterligere reduksjon av P_0 gir feil Storkaas modell

Med målepunktene P_{br} & DP er systemet mest sensitivt for forandringer i mG_{inn} av de to massestrømmene. Forstyrrelsene skaper lite estimeringsfeil i tilstandene. Feil i Storkaas modell kommer av at man får komplekse tall i utregningene og simuleringen brytes. Dette bør rettes opp i senere arbeider. Grenseverdier som skyldes ytterligere reduksjon eller økning gir feil i Storkaas modell er derfor ikke representative. Grenseverdien for reduksjon i P_0 er nok i realiteten vesentlig lavere.

Svingninger i 2000s observeres kun ved settpunkt 1 bar DP , og dette skjer hvis responsen av forstyrrelsen gir trykkfall i DP . Ved settpunkt 2 bar DP gir disse forstyrrelsene under- eller overskyt på 2 bar. Med toleransegrensene som er satt opp tåler systemet mer forstyrrelser ved 2 bar DP .

Tabell 3: Step forstyrrelser med målepunkter Q & DP med settpunkt 1 bar DP

Forstyrrelse	økning (+) reduksjon (-) [%]	Kommentar
mG_{inn}	+17% (0.362 0.424[kg/s])	Overskyt 2 bar
mG_{inn}	-18% (0.362 0.297[kg/s])	Svinger i 2000s
mL_{inn}	+10% (8.64 9.50[kg/s])	Overskyt 2 bar
mL_{inn}	-5% (8.64 8.21[kg/s])	Lite utslag men bruker lang tid på å nå settpunktet
P_0	+4% (50 52[bar])	Underskyt 2 bar
P_0	-0.5% (5 49.75[bar])	Lite utslag, ytterligere reduksjon av P_0 gir feil Storkaas modell

Ved å bruke målepunktene Q & DP er systemet mest sensitivt for forstyrrelser i mL_{inn} , av de to massestrømmene. Forstyrrelser i mL_{inn} på 10% og lavere skaper store estimerings feil av tilstandene. Det er i tilstanden m_L den største estimeringsfeilen oppstår. Ved 3% forstyrrelse blir feilen til mL_{est} i størrelsesorden 200 –250 kg og ved 10% blir feilen ca. 800 kg. Forstyrrelser i mG_{inn} gir liten estimeringsfeil av tilstandene og gir derfor meget like resultater som P_{br} & DP . Forstyrrelser i P_0 skaper ingen estimeringsfeil.

Med målepunktene P_{br} & DP skaper forstyrrelser i massestrømmene inn i føderøret liten estimeringsfeil. Forstyrrelsen i mG_{inn} skaper kraftigst respons i DP med målepunktene P_{br} & DP . Med målepunktene Q & DP skaper endringer i mL_{inn} store estimeringsfeil i tilstandene. Av denne grunn blir systemet veldig sensitivt for forstyrrelser i mL_{inn} . Kalman filteret gir større estimerings feil ved forstyrrelser med målepunktene Q & DP enn med målepunktene P_{br} & DP . Dette gjør at systemet blir mer sensitivt og lettere ustabil ved forstyrrelser hvis målepunktene Q & DP benyttes. Ved step i den målbare forstyrrelsen P_0 blir responsen den samme med de to målepunktene. Reduksjon i P_0 skaper lett komplekse tall i Storkaas modell. Av denne grunn kan det ikke trekkes noen konklusjon om hvor toleransegrensen for denne forstyrrelsen går.

4.4.2 Forstyrrelser på LQG med integral virkning med forstyrrelse estimering på Storkaas modell

Forstyrrelser i massestrømmene skapte estimeringsfeil i Kalman filteret, og særlig for målepunktene Q & DP . Det ble derfor forsøkt å estimere massestrømmene sammen med tilstandene i Kalman filteret. Dette var for å se om man kunne oppnå en bedre tilstandsestimering, og minke sensitiviteten for forstyrrelser. Estimering av forstyrrelse ble satt på etter at systemet var stabilt på gitt settpunkt. Det ble her også sett på settpunkt 1 og 2 bar for DP . Resultatene fra settpunkt 1 bar er vist i tabellene nedenfor. Dersom resultatene for 2 bar avviker blir det bare kommentert. Vedlegg 6 viser utvalgte grafer av resultatene omtalt i dette kapitlet.

Tabell 4: Step forstyrrelser med målepunkter P_{br} & DP med settpunkt 1 bar DP

Forstyrrelse	økning (+) reduksjon (-) [%]	Kommentar
mG_{inn}	+60% (0.362 0.579[kg/s])	Lite forstyrrelse, går tregt til settpunktet. Etter 4000s nær settpunktet.
mG_{inn}	-51% (0.362 0.177[kg/s])	Overskyt 2 bar.
mL_{inn}	+100% (8.64 17.28[kg/s])	Overskyt 1.25 bar, går tregt til settpunkt. Etter 4000s nær settpunkt.
mL_{inn}	-24% (8.64 6.57[kg/s])	Overskyt 1.5 bar, ytterligere reduksjon gir feil i Sorkaas modell

Ved å estimere massestrømmene og tilstandene i Kalman filteret, blir systemet mye mindre sensitivt for forstyrrelser. Kalman filteret estimerer endringen i massestrømmen fort og veldig nøyaktig. Settpunkts endring i en massestrøm gir først utslag i begge estimerte massestrømmene, men begge massestrømmene stabiliserer seg meget raskt på riktig verdi.

Tabell 5: Forstyrrelser med målepunkter Q & DP med settpunkt 1 bar DP

Forstyrrelse	økning (+) reduksjon (-) [%]	Kommentar
mG_{inn}	+60% (0.362 0.579[kg/s])	Lite forstyrrelse, går tregt til settpunktet. Etter 4000s nær settpunktet.
mG_{inn}	-55% (0.362 0.163[kg/s])	Overskyt 2 bar.
mL_{inn}	+60% (8.64 13.82[kg/s])	Svingninger med kort bølgelengde og stor amplitude i 2000s.
mL_{inn}	-5% (8.64 8.21[kg/s])	Svingninger med lang bølgelengde og lav amplitude.

Ved å bruke Kalman filter som estimerer massestrømmer og tilstander med målepunktene Q & DP , blir systemet vesentlig mer robust mot forstyrrelser. Estimering av endringer i mG_{inn} stabiliserer seg rask på ny korrekt verdi. Ved endringer i mL_{inn} estimerer filteret forstyrrelsen tregere. Når mL_{inn} øker, tar det litt tid før filteret observerer økningen. Ved reduksjon av mL_{inn} gir estimeringen først en liten invers, respons så et underskyt, før den stabiliseres på korrekt verdi. At Kalman filteret bruker 5000s på å estimere korrekt verdi for reduksjon i mL_{inn} fører til at en ikke ser en forbedring med de toleransegrensene som er satt. Step i mL_{inn} tar markant lengere tid å estimere enn endringer i mG_{inn} . Når en massestrøm forandrer seg blir det også umiddelbart en liten feilestimering i den uforandrete strømmen, men estimeringsfeilen i begge strømmene blir til slutt null. Ved å bruke Kalman filter som også estimerer massestrømmene blir problemet med estimeringsfeil i tilstandene løst.

Kalman filter med forstyrrelse estimering gjør Storakaas modell mindre sensitiv mot forstyrrelser både med målepunktene P_{br} & DP og Q & DP . Ved å bruke P_{br} & DP blir forstyrrelsene raskere estimert enn hva som er tilfelle med Q & DP . Selv om Q & DP estimerer forstyrrelser i mL_{inn} sakte, blir estimeringen korrekt. Dette løser

problemet med estimeringsfeil i tilstandene, og systemet blir mer robust mot forstyrrelser.

4.4.3 Forstyrrelser på LQG med integral virkning uten forstyrrelse estimering på OLGA-2000 modell

Den totale massestrømmen i OLGA-2000 modellen er 9.00 kg/s. Endringer i massestrømmen skjer lineært over 60s og denne forstyrrelsen er ikke-målbar. Forstyrrelser i P_0 bruker 1s til å nå ny verdi, og endringen er målbar. Det er her også sett på to operasjonspunkt 1 og 2 bar. Som tidligere er kun resultatene fra 1 bar vist i tabeller, og avvik ved 2 bar bare blir kommentert. Vedlegg 4 viser utvalgte grafer av resultatene omtalt i dette kapittelet.

Tabell 6: Forstyrrelser med målepunkter P_I & DP med settpunkt 1 bar DP på OLGA-2000 modell

Forstyrrelse	økning (+) reduksjon (-) [%]	Kommentar
$m_{Tot,inn}$	+31% (9 11.8[kg/s])	Overskyt 2 bar går fort ned til ca. 0.8 bar, bruker lang tid derfra til settpunktet
$m_{Tot,inn}$	-13.3% (9 7.8[kg/s])	Svinger i 2000s og gir overskyt 2 bar ved toppunkt på en svingning.
P_0	+2% (50 51[bar])	Svinger i 2000s og gir overskyt ca. 1.7 bar ved toppunkt på en svingning.
P_0	-3% (50 48.5[kg/s])	Overskyt 2 bar svinger i 2000s.

Målepunktet P_I & DP på OLGA-2000 tåler forstyrrelser ved settpunkt 1 bar DP godt. Ved settpunkt 2 bar DP blir systemet mer sensitivt for forstyrrelser i massestrømmen, men systemet bli mer robust mot forstyrrelser i P_0 . De tre tilstandene som estimeres av Kalman filteret er forskjellige fra OLGA-2000 modellens tilstander. Det er derfor ikke mulig å beregne feilen i estimerte tilstander.

Tabell 7: Forstyrrelser med målepunkter P_{br} & DP med settpunkt 1 bar DP på OLGA-2000 modell

Forstyrrelse	økning (+) reduksjon (-) [%]	Kommentar
$m_{Tot,inn}$	+20% (9 10.8[kg/s])	Overskyt 2 bar går fort ned til ca. 0.8 bar, bruker lang tid derfra til settpunktet
$m_{Tot,inn}$	-13.3% (9 7.8[kg/s])	Svinger i 2000s og gir overskyt 2 bar ved toppunkt på en svingning.
P_0	+4% (50 52[bar])	Først spontant ned til -1 bar DP deretter overskyt 2 bar og svinger i 2000s
P_0	-3.5% (50 48.25[kg/s])	Overskyt 2 bar svinger i 2000s.

Målepunktet P_{br} & DP på OLGA-2000 tåler forstyrrelser ved settpunkt 1 bar DP godt. Ved settpunkt 2 bar blir systemet mer sensitivt for forstyrrelser i total massestrøm, mens forstyrrelser i P_0 er sensitiviten uforandret.

Tabell 8: Forstyrrelser med målepunkter Q & DP med settpunkt 1 bar DP på OLGA-2000 modell

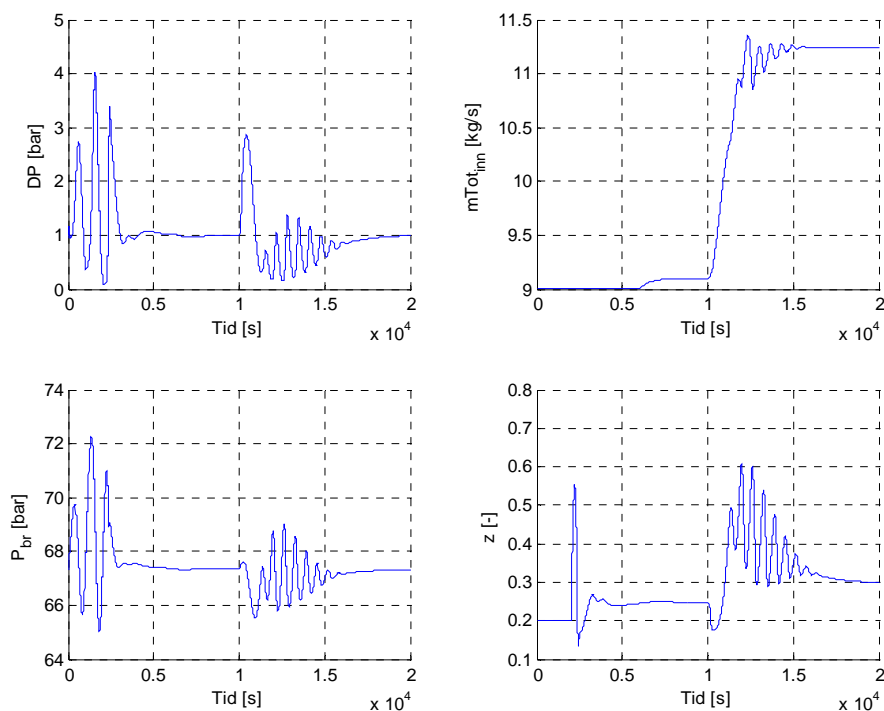
Forstyrrelse	økning (+) reduksjon (-) [%]	Kommentar
$m_{Tot,inn}$	+16.7% (9 10.5[kg/s])	Overskyt 2 bar går tregt ned, ved 2000s 1 bar over settpunkt og ved 4000s nær settpunkt
$m_{Tot,inn}$	Reduksjon går ikke	Bruker 6000s til å nå settpunktet, blir lett svingninger. Vedlegg 4 viser -2%
P_0	+0.6% (50 50.3[bar])	Små svingninger i 2000s, ved å øke forstyrrelsen tar det lang tid å nå settpunktet igjen
P_0	-3.5% (50 48.25[kg/s])	Overskyt 2 bar.

Med målepunktene Q & DP er systemet meget sensitivt for forstyrrelser som skaper en reduksjon i DP ved settpunkt 1 bar DP . Forstyrrelsene gir ikke store svingninger men bruker lang tid til på å nå settpunktet. For forstyrrelser som gir trykk økning i DP er systemet rimelig godt. Ved å øke settpunktet til 2 bar DP blir systemet mer robust for forstyrrelser som gir trykkfall i DP .

Målingene P_1 & DP og P_{br} & DP er bedre for undertrykking av forstyrrelser enn målepunktet Q & DP . Målepunktet P_1 er mindre sensitivt for økning i total massestrøm enn P_{br} . Dette skyldes at P_1 er 4500m oppstrøms i fødeføret, og vil derfor detektere endringer i total massestrøm før P_{br} . Ved endringer i den målbare forstyrrelsen P_0 er målepunktene P_{br} & DP best, fordi denne målepunkts kombinasjonen gir den raskeste reguleringsstrukturen. Når LQG regulering med integral virkning tåler forstyrrelser så godt, og stabiliserer systemet så raskt, tyder det på at Kalman filtret estimerer tilstandene godt. Med målepunktene Q & DP blir systemet meget sensitivt for trykk reduksjoner i DP ved 1 bar DP . Dette kan tyde på at systemet ikke kan senke settpunktet mer enn 1 bar DP før systemet blir ustabil. Ved å øke settpunktet blir systemet mer robust mot forstyrrelser.

4.4.4 Forstyrrelser på LQG med integral virkning med forstyrrelse estimering på OLGA-2000 modell

Det ble forsøkt å redusere feilestimering ved forstyrrelser i total massestrøm, ved å estimere tilstander og massestrøm med et Kalman filter. Når DP hadde nådd settpunktet ble massestrøm estimeringen skrudd på. Vedlegg 7 viser utvalgte grafer av resultatene omtalt i dette kapittelet.



Figur 22: Regulatoren skrus på ved tiden 2000s med målepunktene P_{br} & DP , estimering av $mTot_{inn}$ begynner ved tiden 6000s og ved tiden 10 000s økes $mTot_{inn}$ med 20% (9 til 10.8 [kg/s]).

Variansen til estimeringen av massestrømmen er satt lavt for alle tre målepunktene. Hvis variansen til forstyrrelsen settes ti ganger høyere vil estimeringen få kraftigere svingninger. Dette før til at den bruker lengere tid på å stabilisere seg på samme verdi.

Figur 22 viser at Kalman filteret estimerer litt for høy verdi for $mTot_{inn}$ ved settpunkt. Denne feilestimeringen gir ikke utslag i DP . Ved å øke $mTot_{inn}$ med 20% (9 til 10.8 [kg/s]) over 60s, bruker Kalman filteret 5000s til å estimere endringen. Grafen viser at den estimerte sluttverdien av $mTot_{inn}$ ligger ca. 0.4 kg/s høyere enn riktig verdi. P_l & DP gir den samme estimeringsfeilen ved settpunkt. En økning på 31% (9 til 11.8 [kg/s]) i $mTot_{inn}$ gir en estimeringsverdi ca 1 kg/s høyere enn korrekt verdi. Det tar ca. 6000s for den estimerte å nå slutt verdien. Estimeringen gjør at overskyten blir lavere, men bruker mye lengere tid til å nå settpunktet med estimering av $mTot_{inn}$ enn uten. Systemet bruker lang tid på å nå settpunktet fordi Kalman filteret bruker lang tid på å estimere endringen.

Med målepunktene Q & DP estimerer Kalman filteret $mTot_{inn}$ 0.6 kg/s for lavt ved settpunkt. Denne estimerings feilen gir et overskyt på 1bar DP før det igjen stabiliserer seg på gitt settpunkt. Ved en økning på 16.7% (9 til 10.5 [kg/s]) i $mTot_{inn}$ tar ca 6000s før den estimerte massestrømmen stabiliserer seg ca. 0.7 kg/s under riktig verdi.

Med en forstyrrelse som bruker 60s til å nå nytt settpunkt, estimerer Kalman filteret massestrømmen for sakte til å gi forbedringer ved de toleransegrenser som er satt. Kalman filteret reduserer overskyt, men DP vil bruke lang tid på å nå settpunktet fordi estimeringen av forstyrrelsen er treg. Den estimerte verdien til massestrømmen er

rimelig god, så ved trege endringer i massestrømmen kan det kanskje gi minket sensitivitet for forstyrrelser. Målepunkts kombinasjonen P_{br} & DP er best egnet til å estimere endringer i $m_{Tot,inn}$. Forstyrrelsen er sannsynligvis vanskelig å estimere på grunn av liten observerbarhet eller for få målepunkter. Dette gjør at forstyrrelsen må vektas veldig lavt og fører til sen estimering. Når Kalman filteret estimerer forstyrrelsen så sent som den gjør, vil det ikke gi noen bedring mot raske forstyrrelser. Kalman filteret kan detektere drift i operasjonspunktet, og kan gi regulatoren større operasjonsområde. Bruksområdet blir da å detektere og estimere forstyrrelser med lav frekvens.

4.5 Forslag til videre arbeid

Det første som bør gjøres er å rette på Storkaas modell slik at simuleringene ikke blir avbrutt av komplekse tall i ligningssettet. Dette vil gi mer realistiske grenseverdier for forstyrrelsene der dette var et problem. Det bør undersøkes hvor langt ut i føderøret oppstrøms trykkmåling kan ligge før ytelsen til reguleringsstrukturen svekkes. I denne oppgaven ble det funnet at det har liten betydning om oppstrøms trykkmåling ligger 4500m ut i føderøret eller i riserens bunnpunkt. Når LQG regulering gir såpass gode resultater, bør også andre multivariable og modellbaserte reguleringsstrukturer undersøkes.

5 *Konklusjon*

Et lineært Kalman filter gir for stor estimeringsfeil til å brukes som tilstands estimator for de tre tilstandene (m_L , m_{G1} og m_{G2}) i Storkaas sin forenklede ulineære modell. Storkaas modell er utviklet av Stokaas og Skogestad. Ved å bruke Storkaas modell i et ulineært Kalman filter til å estimere de deriverte tilstandene og målepunktene, blir estimeringen av tilstandene gode. Forsterkningen i Kalman filteret blir beregnet som forsterkningen til et lineært Kalman filter. Det ulineære filteret er kontinuerlig og uten oppdatering.

LQG regulering med et ulineært Kalman filter stabiliserer slugg-strømning i både Storkaas og OLGA-2000 modellene. Denne reguleringsstrukturen gir 1 bar DP stasjonæravvik med målepunktene Q & DP i OLGA-2000 modellen.

LQG regulering med integral virkning på DP fjerner stasjonæravvik. Den stabiliserer slugg-strømningen til settpunkt 1 og 2 bar DP og kan gjøre settpunktsendringer med alle tre målepunktene i begge modellene. I OLGA-2000 gir målepunktene med oppstrøms- og nedstrøms- trykk bedre ytelse både ved stabilisering, settpunktsendringer og undertrykning av forstyrrelser enn Q & DP . Om målepunktet av oppstrømstrykk ligger i riserens bunnpunkt eller 4500m ut i føderøret har liten betydning for ytelsen til reguleringsstrukturen. LQG regulering med integral virkning øker ytelsen vesentlig for både stabilisering og settpunktsendringer i forhold til kaskaderegulering med målepunktene Q & DP .

Ved estimering av massestrømmene med Kalman filteret ble reguleringsstrukturen vesentlig mindre sensitiv for forstyrrelser i Storkaas modell. I OLGA-2000 modellen klarte ikke Kalman filteret å estimere stabile endringer i massestrømmen fort nok til å minke sensitiviteten for forstyrrelser. Feilen i estimert verdi er ikke stor og dermed kan det være en mulig løsning for trege forstyrrelser.

LQG regulering med Storkaas modell i et ulineært Kalman filter er velegnet for regulering av OLGA-2000 modellen. Simulering av Storkaas modell gir som regel like resultater som OLGA-2000, med unntak av estimering av forstyrrelser.

6 Referanser

Havre.K og Dalsmo.M *Active Feedback Control as a Solution to Severe Slugging* SPE Annual Technical Conference and Exhibition in New Orleans 30.09-03.10.2001 SPE79252

Hende.P og Linga.H *Supression of terrain slugging with automatic and manual riser choking*, Advances in Gas-Liquid Flows, 2000. s.453-469

Henriot.V, Courbor.A, Heitze.E og Moyeux.L *Simulation of process to control severe slugging: Application to the Dunbar pipelines*, SPE Annual Conference and Exhibition in Housto, Texas 1999. SPE56461

Matlab Documentation *Control System Toolbox*

Scandpower Petroleum Technology *User's Manual OLGA-2000* Kjeller, Norway

Skofteland.G og Godhavn.J.M *Suppression of slugs in multiphase flow lines by active use of topside choke – Fild experience and experimental results*. Accepted for publication at Multiphase'03, San Remo, Italy 11-13 2003

Skogestad.S og Postlethwaite.I, *MULTIVARIABLE FEEDBACK CONTROL Analysis and design*, Second Edition, John Wiley & sons, 2001

Storkaas.E Foredrag *Forenklet modellering og analyse av gravitasjonsindusert sluggstrømning* Seminaret Optimal utnyttelse av naturgass den 23.04.2003.
http://www.nt.ntnu.no/users/engeliu/gass03/Espen_Storkaas.pdf

Storkaas.E, Alstad.V og Skogestad.S *Stabilization of desired flow regimes in pipelines*. AIChE Annual meeting 2001, Reno, Nevada. Papper 287d

Storkaas.E og Skogestad.S, *Stabilization of severe slugging based on a low-dimensional nonlinear model*, AIChE Annual meeting 2002 Reno, Nevada

Vedlegg 1

Notasjon, ligninger, antagelser og kommentarer til Storkaas modell

Notasjon:

Symbol	Forklaring	Benevning
m_{Gi}	Masse av gass i volum i	kg
m_L	Masse av væske	kg
V_{Gi}	Gass volum i i	m^3
V_L	Volum tattopp av væske	m^3
V_{LR}	Volum av væske i riser	m^3
V_T	Totalt volum i riser	m^3
P_i	Trykk i volum i	N/m^2
ρ_{Gi}	Gass tetthet i volum i	kg/m^3
ρ_L	Væske tetthet	kg/m^3
$\bar{\rho}$	Gjennomsnittlig tetthet i riseren	kg/m^3
ρ_T	Tetthet oppstrøms ventil	kg/m^3
v_{G1}	Gass hastighet ved laveste punkt	m/s
$v_{mix,out}$	Væskeshastighet gjennom choke ventil	m/s
\dot{m}_{G1}	Massestrøm av gass i G_1	kg/s
$\dot{m}_{G,out}$	Massestrøm av gass gjennom choke ventil	kg/s
$\dot{m}_{L,out}$	Massestrøm av væske gjennom choke ventil	kg/s
α_L	Gjennomsnittlig væske fraksjon av væske, volum basis	-
α_{LT}	Væske fraksjon oppstrøms ventil, volum basis	-
α_L^m	Væske fraksjon oppstrøms ventil, masse basis	-
h_1	Væske nivået høyde oppstrøms	m
H_1	Kritisk væske nivå	m
H_2	Høyde til riser	m
r	Radius av rør	m
A_1	Areal av væske overflate i V_1	m^2
A_2	Areal av tverrsnitt av røret i riser	m^2
\hat{A}	Areal tilgjengelig for gass i bunn av riser	m^2
L_3	Lengde av horisontalt rør i topp	m
θ	Føderørets vinkel mot horisontalt plan	rad
R	Gass konstant (8314)	$J/K \cdot kmol$
g	Tyngdens akselerasjon i gravitasjons feltet (9.81)	m/s^2
T	Systemets temperatur	K
M_G	Molekyl vekt til gassen	$kg/kmol$
$\dot{m}_{G,inn}$	Gass masse tilført systemet	kg/s
$\dot{m}_{L,inn}$	Væske masse tilført systemet	kg/s

P_0	Trykk etter chokventil	N/m ²
z	Ventilens posisjon	-
K_1	Choke ventil konstant	-
K_2	Gasstrømning konstant	-
K_3	Friksjons parameter	-
n	n i friksjons uttrykket (w^n)	-

Ligninger:

Interne ligninger

$$P_1 = \frac{m_{G1}RT}{V_{G1}M_G} \quad (A1)$$

$$\rho_{G1} = \frac{m_{G1}}{V_{G1}} \quad (A2)$$

$$V_L = \frac{m_L}{\rho_L} \quad (A3)$$

$$h_1 A_1 + V_{LR} = V_L \quad (A4)$$

$$V_T = A_2(H_2 + L_3) \quad (A5)$$

$$V_{G2} = V_T - V_{LR} \quad (A6)$$

$$\rho_{G2} = \frac{m_{G2}}{V_{G2}} \quad (A7)$$

$$\alpha_L = \frac{V_{LR}}{V_T} \quad (A8)$$

$$P_2 = \frac{m_{G2}RT}{V_{G2}M_G} \quad (A9)$$

$$\bar{\rho} = \frac{m_{G2} + V_{LR}\rho_L}{V_T} \quad (A10)$$

$$\bar{\rho}g(H_2 + H_3) - \rho_L gh_1 = P_1 - P_2 \quad (A11)$$

$$\alpha_{LT} = (V_{LR} > H_2 A_2) \frac{V_{LR} - A_2 H_2}{A_3 H_3} + \frac{w^n}{1 + w^n} \left(\alpha_L - (V_{LR} > H_2 A_2) \frac{V_{LR} - A_2 H_2}{A_3 H_3} \right) \quad (A12)$$

hvor $w = \frac{K_3 \rho_{G1} v_{G1}^2}{\rho_L - \rho_{G1}}$

$$\rho_T = \alpha_{LT} \rho_L + (1 - \alpha_{LT}) \rho_{G2} \quad (A13)$$

$$\alpha_L^m = \frac{\alpha_{LT} \rho_L}{\alpha_{LT} \rho + (1 - \alpha_{LT}) \rho_{G2}} \quad (A14)$$

Transport ligninger:

$$v_{G1} = (h_1 < H_1) K_2 \frac{H_1 - h_1}{H_1} \sqrt{\frac{P_1 - P_2 - \rho_L g \alpha_L H_2}{\rho_{G1}}} \quad (A15)$$

$$\dot{m}_{G1} = v_{G1} \rho_{G1} \hat{A} \quad (A16)$$

$$m_{mix,out} = K_1 z \sqrt{\rho_T (P_2 - P_0)} \quad (A17)$$

$$\dot{m}_{G,out} = (1 - \alpha_L^m) m_{mix,out} \quad (A18)$$

$$\dot{m}_{L,out} = \alpha_L^m m_{mix,out} \quad (A19)$$

Geometriske ligninger

$$H_1 = \frac{2r}{\cos(\theta)} \quad (A20)$$

$$A_1 = \frac{A_2}{\sin(\theta)} \quad (A21)$$

$$\phi = \left((H_1 - h_1) \cos(\theta) < r \right) \left(\pi - a \cos \left(1 - \frac{(H_1 - h_1) \cos(\theta)}{r} \right) \right) + \quad (A22)$$

$$\left((H_1 - h_1) \cos(\theta) > r \right) \left(a \cos \left(\frac{(H_1 - h_1) \cos(\theta)}{r} - 1 \right) \right)$$

$$\hat{A} = r^2 (\pi - \phi - \cos(\pi - \phi) \sin(\pi - \phi)) \quad (A23)$$

Massebalanser:

$$\frac{d}{dt} m_L = \dot{m}_{L,inn} - \dot{m}_{L,out} \quad (A24)$$

$$\frac{d}{dt} m_{G1} = \dot{m}_{G,inn} - \dot{m}_{G1} \quad (A25)$$

$$\frac{d}{dt} m_{G2} = \dot{m}_{G1} - m_{G,out} \quad (A26)$$

Antagelser

For å lage en forenklet modell er følgende antagelser gjort:

- 3 Konstant væsketetthet i føderøret (neglisjert dynamikk i væske nivået). Dette gir:
 - Konstant gassvolum oppstrøms (volum variasjoner p.g.a. varierende væsknivå i bunnpunktet av riseren er neglisjert)
 - Konstant føde av væske rett i riser
- 4 Kun et kontrollvolum for væsken (som er en del av føde røret)
- 5 To kontrollvolum for gass, separert av bunnpunktet i riseren, og henger sammen gjennom trykk- strømning sammenheng.
- 6 Ideell gasslov
- 7 Stasjonær trykkbalanse mellom riser og fødepunkt.
- 8 Forenklet ventil modell for gass og væske som forlater riseren
- 9 Konstant temperatur

Kommentarer til ligningene

De fleste ligningene er vanlige massebalanser, ideel gasslov, volumbalanser for væske med konstant tetthet og volum / masse fraksjoner. I den stasjonære trykkbalansen (ligning A11) er de dynamiske effektene akselerasjon og friksjon i rørveggen neglisjert. En forenklet ventil ligning (ligning A17) er brukt for choken, med antagelse om konstant massestrømning gjennom ventilen. I stedet for impuls balanse i røret er det brukt en trykk- strømning sammenheng for gassen (ligning A15) og en medrivingsligning for væsken (ligning A12).

Vedlegg 2

Beregninger av parametere for Kalman filter og regulator

Vedlegget viser Matlab scriptet som beregner forsterkningen til Kalman filter med og uten forstyrrelse estimering. Forstyrrelsen er m_{Tot_inn} . Scriptet beregner også parameterene for regulatoren med og uten integral virkning.

```
% LQGdesign.m
clear all
global data
% Initializing
mG_in=0.362;
mL_in=8.64;
z=0.13;
P1_stasj=70.13e5;
h1_stasj=0.11;
P2_stasj=53.4e5;
P0=50e5;
mTot_in=mG_in+mL_in;

[x01,y_stasj,data]=initialize(z,mG_in,mL_in,P1_stasj,h1_stasj,P2_stasj,P0);
data.mF_G=mG_in/mTot_in;
data.mF_L=mL_in/mTot_in;

% Operating point:
z_op=0.30;
load Stationary;
I=find(abs(z-z_op)==min(abs(z-z_op)));
u=[z(I);P0];
x0=[xs(1,I);xs(2,I);xs(3,I)];
ds=[mTot_in];
[A,B,C,D]=linearize(@slug_3D_lin,[],[x0;ds],[],u);
A(4,4)=-1e-4;

% Output selection:
y_sel=[1 2]; %valg av målepunkt 1=Pbp/P1 2=DP 5=Q
n=length(A);
B=B(:,1);C=C(y_sel,:);D=D(y_sel,1);
G=eye(n); %Process noise on state derivatives
H=zeros(length(y_sel),n); %Process noise on measurements

%Kalman filter uten forstyrrelses estimering
sys=ss(A,[B G],C,[D H]);
dss=[ds]*0; %ingen forstyrrelse estimering
x00=[x0(1);x0(2);x0(3)]*0.02;
w=diag([x00;dss]); %Process noise variance
v=diag([0.1 0.1]); %Measurement noise variance
[kest,l,p]=kalman(sys,w,v,0); %Linear Kalman filter computation
l

%Kalman filter med forstyrrelses estimering
dsss=[ds]*0.0002;
ww=diag([x00;dsss]);
[kest,l_dest,p]=kalman(sys,ww,v,0); %Linear Kalman filter computation
l_dest
```

Modellbasert stabiliserende regulering av gravitasjons indusert slugging i pipeline-riser systemer

```
%LQG regulator uten I-virkning
Q=1*eye(n);
R=80e8; %Weighting on input usage
LQG=lqr(A,B,Q,R)

%Integral action in LQG

yI=2; %Integral action in measurement point #
CI=C(yI,:);
DI=D(yI,:);

p=size(CI,1); % # measurements with integral action
[n,m]=size(B); % m= # inputs (u)

nn=zeros(n,n);
pn=zeros(p,n);
np=zeros(n,p);
pp=zeros(p,p);

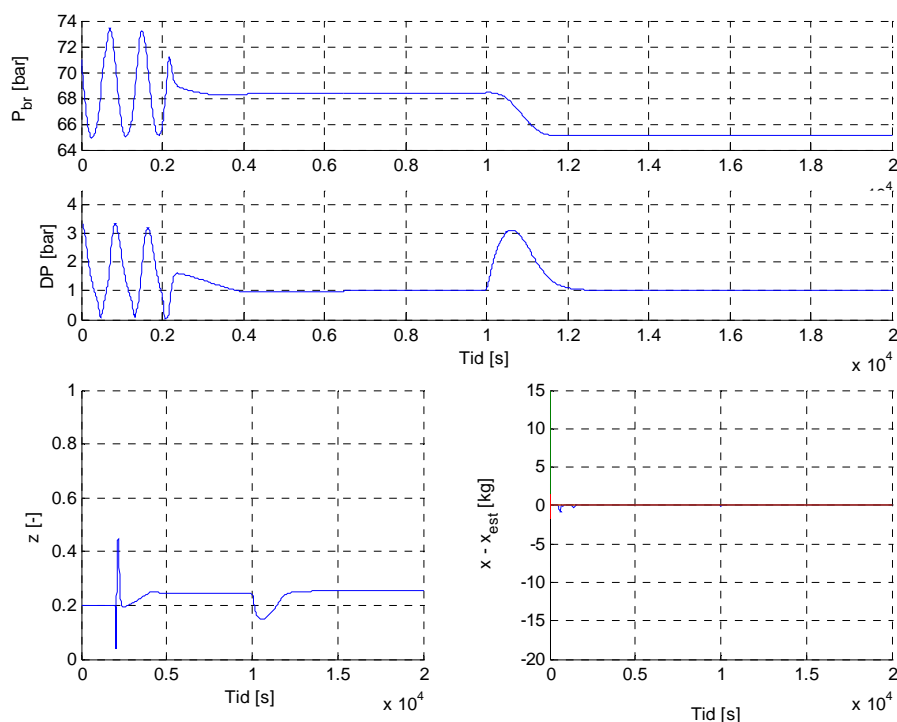
A=[A np; -CI pp];
B=[B;-DI];
Q=[nn np;pn eye(p,p)]; %Weighting on states (only weighting
the measurement with integral action)
R=80e6*eye(m); %Weighting on input usage
LQGI=lqr(A,B,Q,R)
```

Vedlegg 3

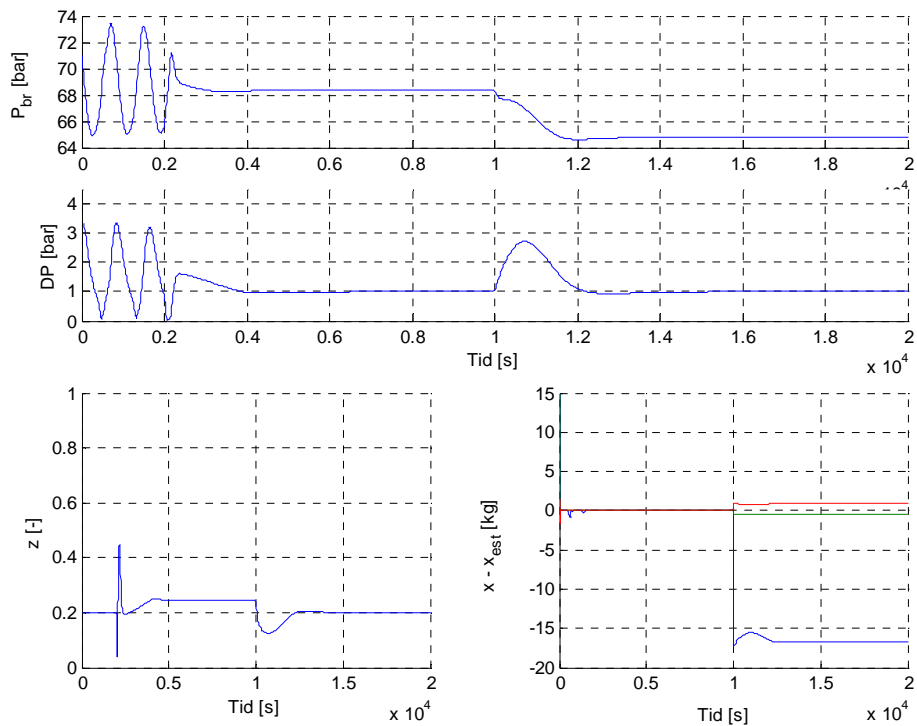
Forstyrrelser på LQG med integral virkning uten forstyrrelse estimering på Storkaas modell

Dette vedlegget viser et utvalg av grafer av resultatene presentert i kapittel 4.4.1 og stabilisering av slugg-strømmingen til 1 bar DP . Regulatoren skrur på ved tiden 2000s og forstyrrelsen skjer ved tiden 10 000s. Grafene viser variasjoner i de to aktuelle målepunktene, ventil åpning og feil i estimerte tilstander ($x - x_{est}$) m_L er vist med blå graf, m_{G1} er vist med grønn graf og m_{G2} er vist med rød graf

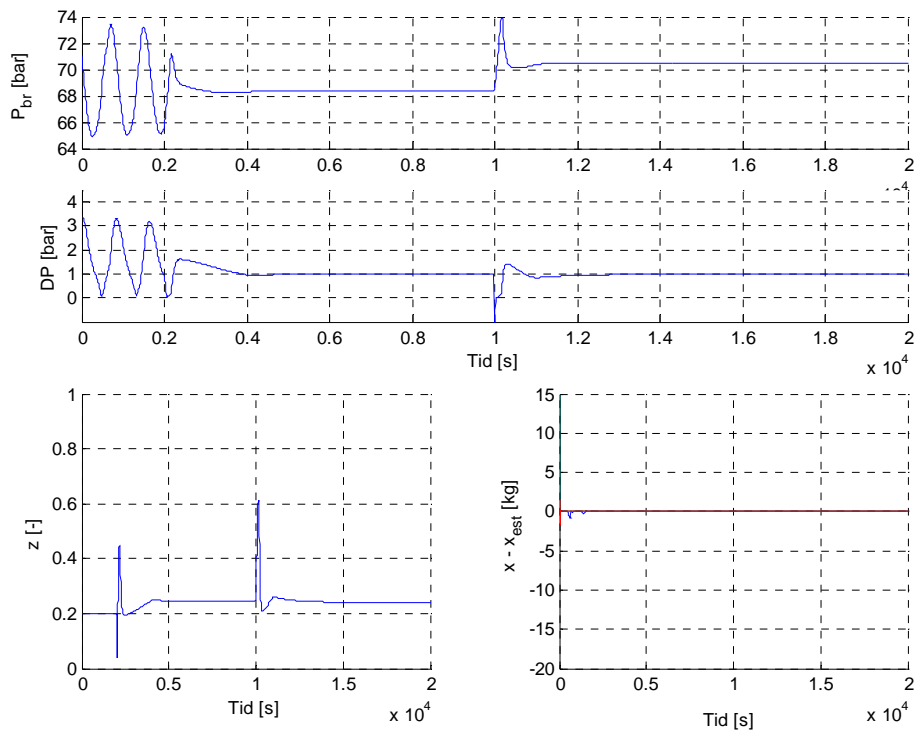
Da forstyrrelsen $m_{G_{inn}}$ gir meget lik respons for begge målepunktene er det vist en økning for målepunktene P_{br} & DP og en reduksjon for målepunktene Q & DP . For forstyrrelser i $m_{L_{inn}}$ er det vist reduksjon for målepunktene P_{br} & DP fordi en ytterligere reduksjon gir simulering av brudd Storkaas modell. For målepunktene Q & DP er det vist en økning i $m_{L_{inn}}$ fordi dette skaper estimeringsfeil i tilstandene. Forstyrrelser i P_0 skaper samme utslag i DP så en økning i P_0 er vist for målepunktene P_{br} & DP og reduksjon er vist for målepunktene Q & DP . Det er kun tatt med grafer for settpunkt 1 bar DP .



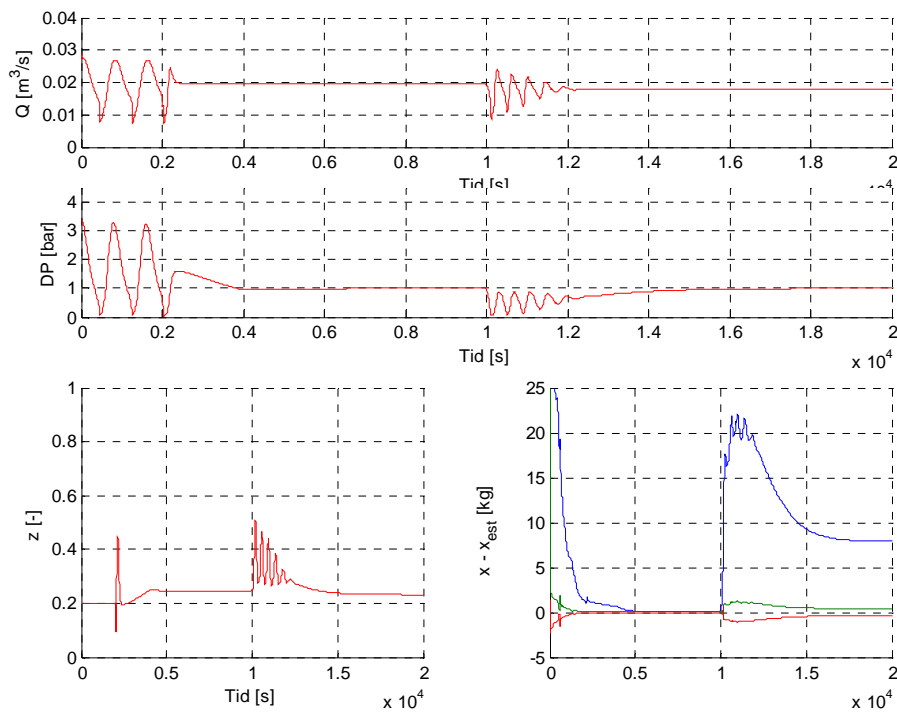
Figur V3 1: $m_{G_{inn}}$ øker med 18% (0.362 til 0.427[kg/s]) ved tiden 10 000s, med settpunkt 1 bar DP med målepunktene P_{br} & DP



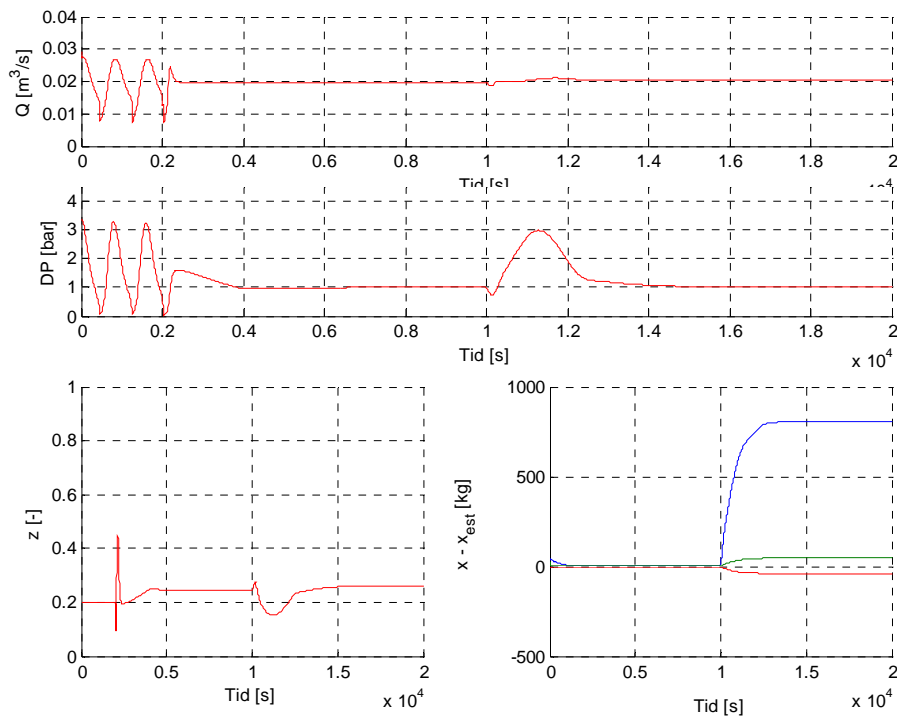
Figur V3 2: mL_{inn} reduseres med 24% (8.64 til 6.57[kg/s]) ved tiden 10 000s, med settpunkt 1 bar DP med målepunktene P_{br} & DP



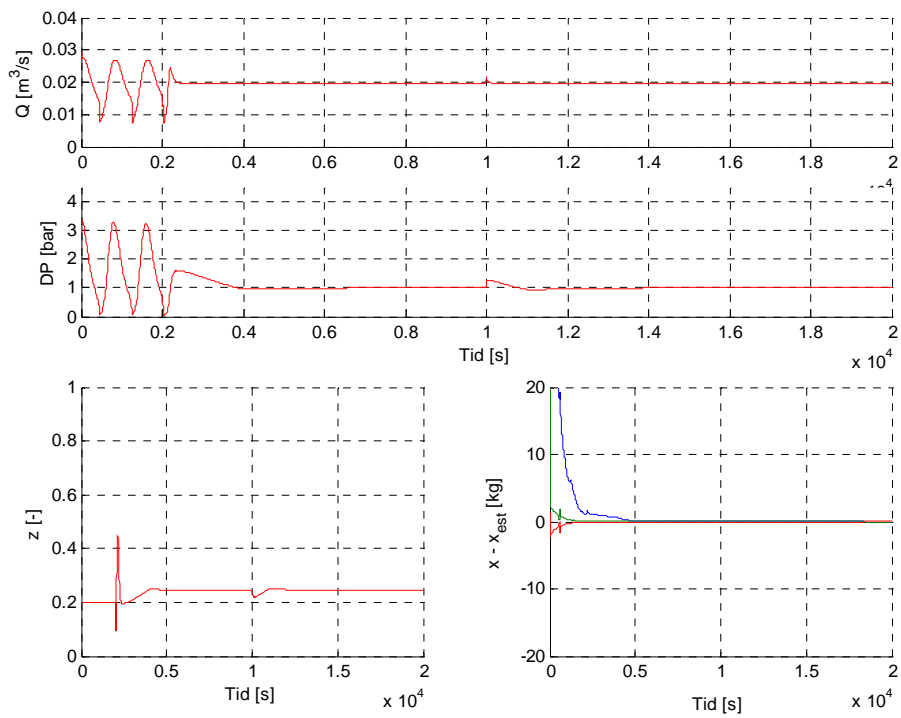
Figur V3 3: P_0 øker fra 50 til 52 bar ved tiden 10 000s, med settpunkt 1 bar DP med målepunktene P_{br} & DP



Figur V3 4: mG_{inn} reduseres med 18% (0.362 til 0.297 [bar]) ved tiden 10 000s, med settpunkt 1 bar DP med målepunktene Q & DP



Figur V3 5: m_{L1} øker med 10% (8.64 til 9.50 [kg/s]) ved tiden 10 000s, med settpunkt 1 bar DP med målepunktene Q & DP



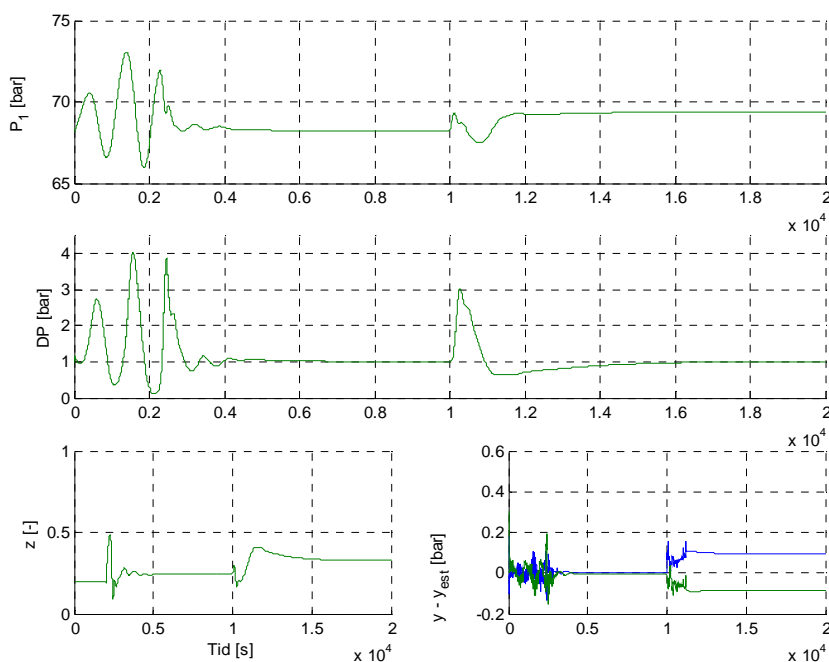
Figur V3 6: P_0 går fra 50 til 49,75 [bar] ved tiden 10 000s, med settpunkt 1 bar DP med målepunktene Q & DP

Vedlegg 4

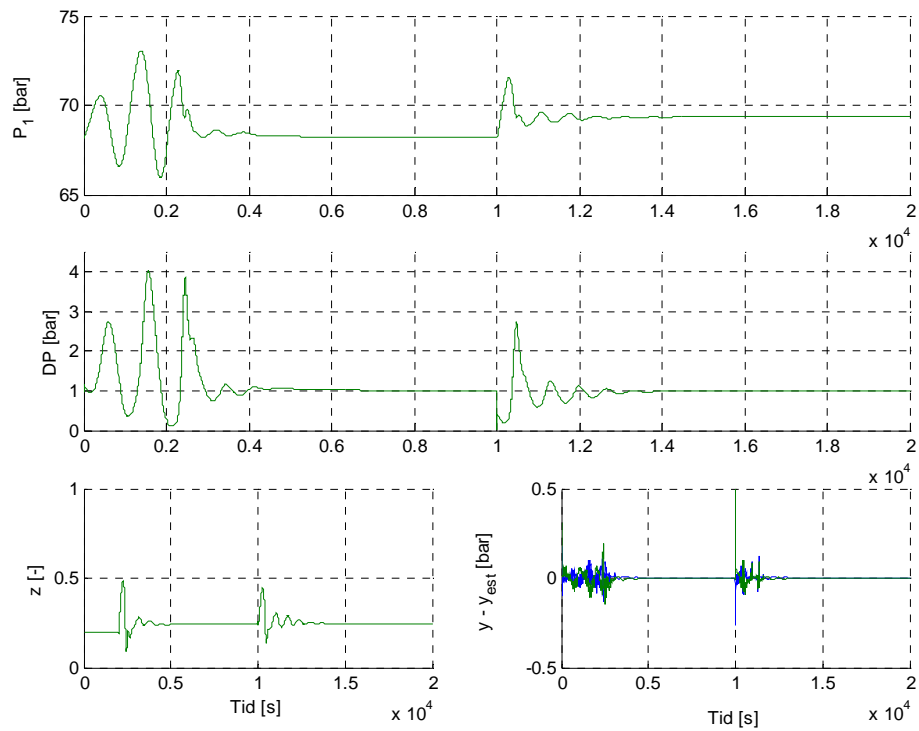
Forstyrrelser på LQG med integral virkning uten forstyrrelse estimering på OLGA-2000 modell.

Dette vedlegget viser utvalgte grafer av resultatene som er presentert i kapittel 4.4.3. og stabilisering av slugg-strømning til settpunkt 1 bar DP . Regulatoren settes på ved tiden 2000s og forstyrrelsen skjer ved 10 000s. Forstyrrelsene i massestrømmene bruker 60s for å nå ny verdi. Forstyrrelse i P_0 bruker 1s på nå ny verdi.

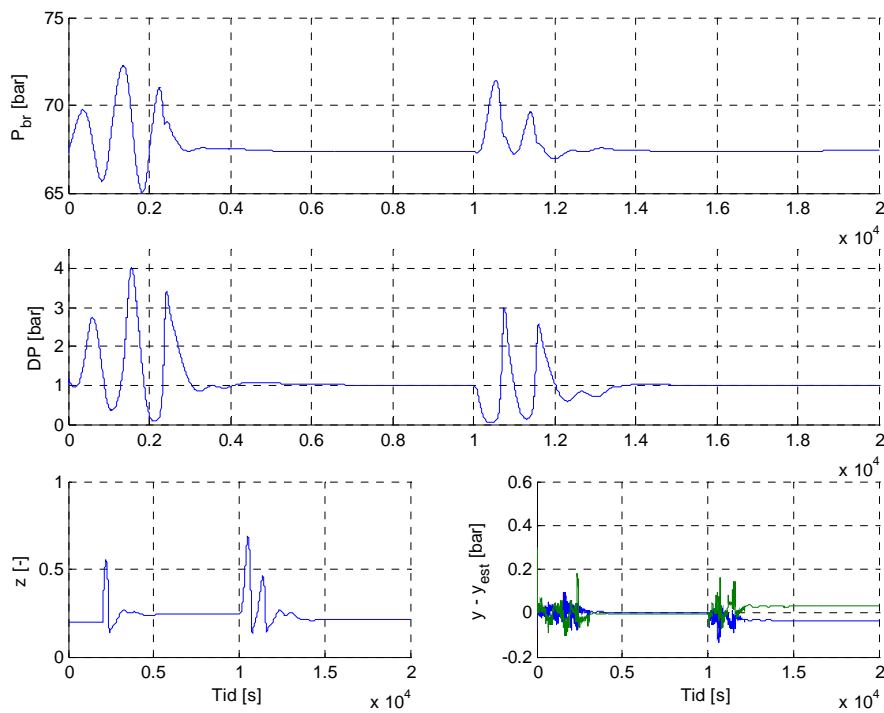
Responsene i DP for forstyrrelser er rimelig like for målepunktene P_1 & DP og P_{br} & DP . Det er derfor vist økning i $mTot_{inn}$ for P_1 & DP og reduksjon for P_{br} & DP . For endringer i trykket er det vist økning for målepunktene P_{br} & DP og reduksjon for P_{br} & DP . For målepunktene Q & DP er det vist reduksjon for $mTot_{inn}$ og økning for P_0 , fordi disse skiller seg ut.



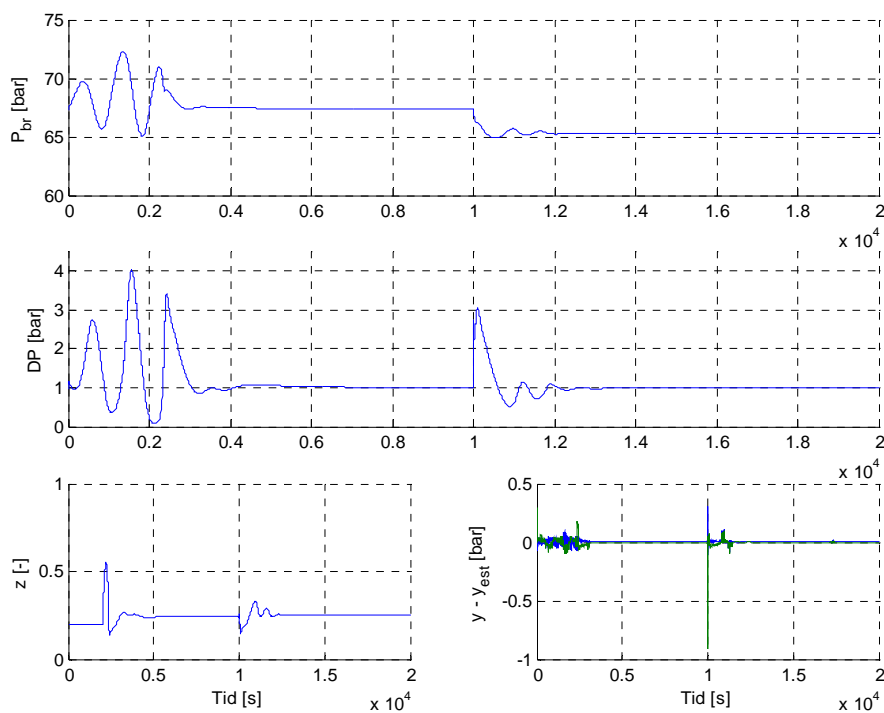
Figur V4 1: $mTot_{inn}$ øker med 31% (9 → 11.8 [kg/s]) ved tiden 10 000s, med settpunkt 1 [bar] DP med målepunktene P_1 & DP .



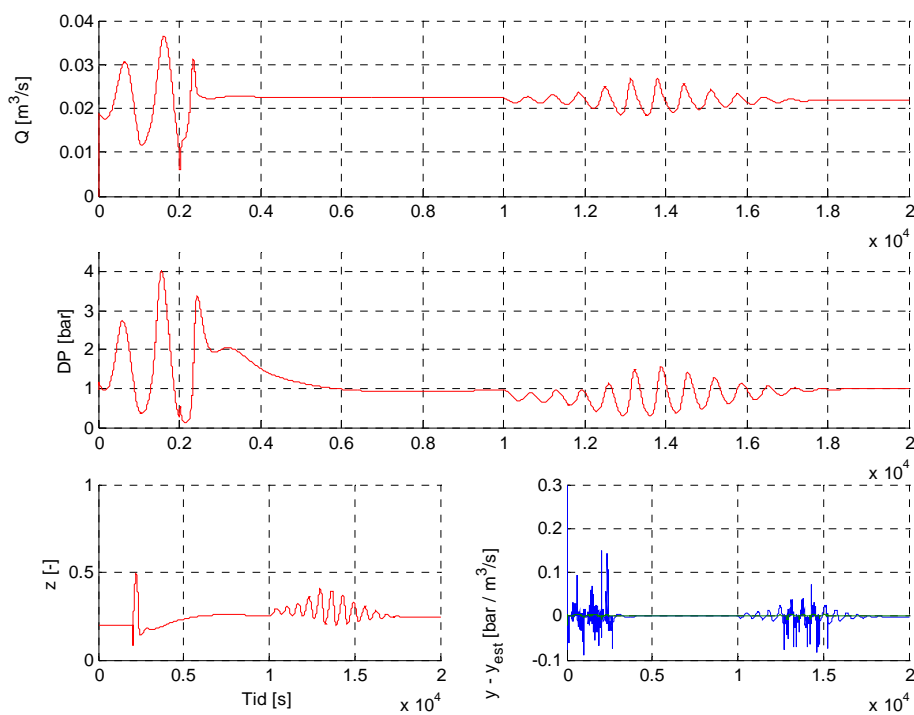
Figur V4 2: P_0 økes med 2% (50 → 51 [bar]) ved tiden 10 000s, med settpunkt 1 [bar] DP med målepunktene P_1 & DP .



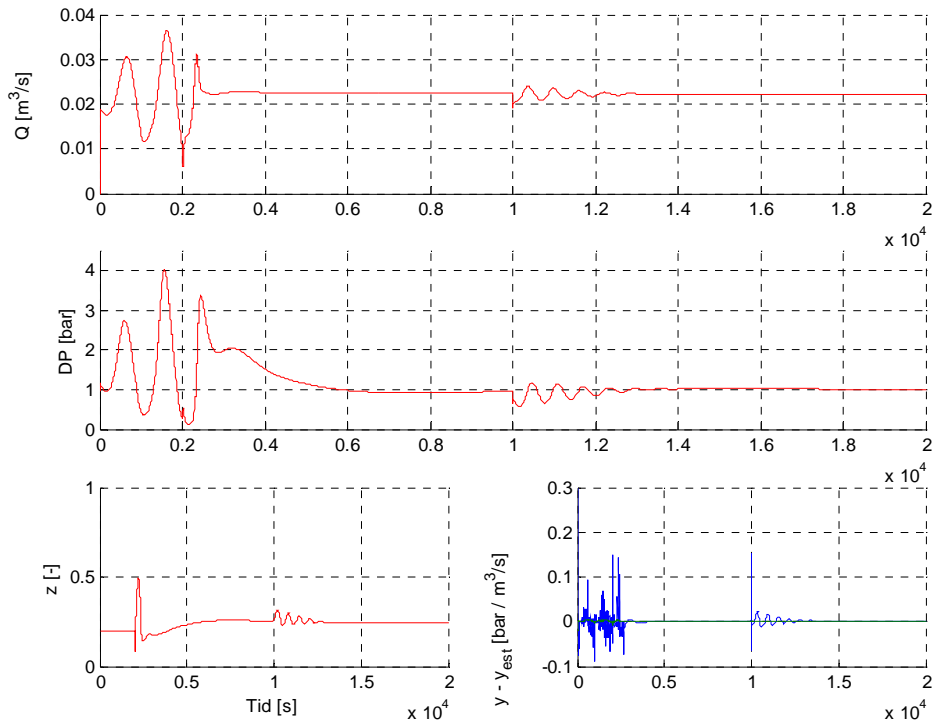
Figur V4 3: $m_{Tot_{inn}}$ reduseres med 13.3% (9 → 7.8 [kg/s]) ved tiden 10 000s, med settpunkt 1 [bar] DP med målepunktene P_{br} & DP .



Figur V4 4: P_0 reduseres med 3.5% (50 → 48.25 [bar]) ved tiden 10 000s, med settpunkt 1 [bar] DP med målepunktene P_{br} & DP .



Figur V4 5: $m_{Tot_{inn}}$ reduseres med 2.2% (9 → 8.8 [kg/s]) ved tiden 10 000s, med settpunkt 1 [bar] DP med målepunktene Q & DP .

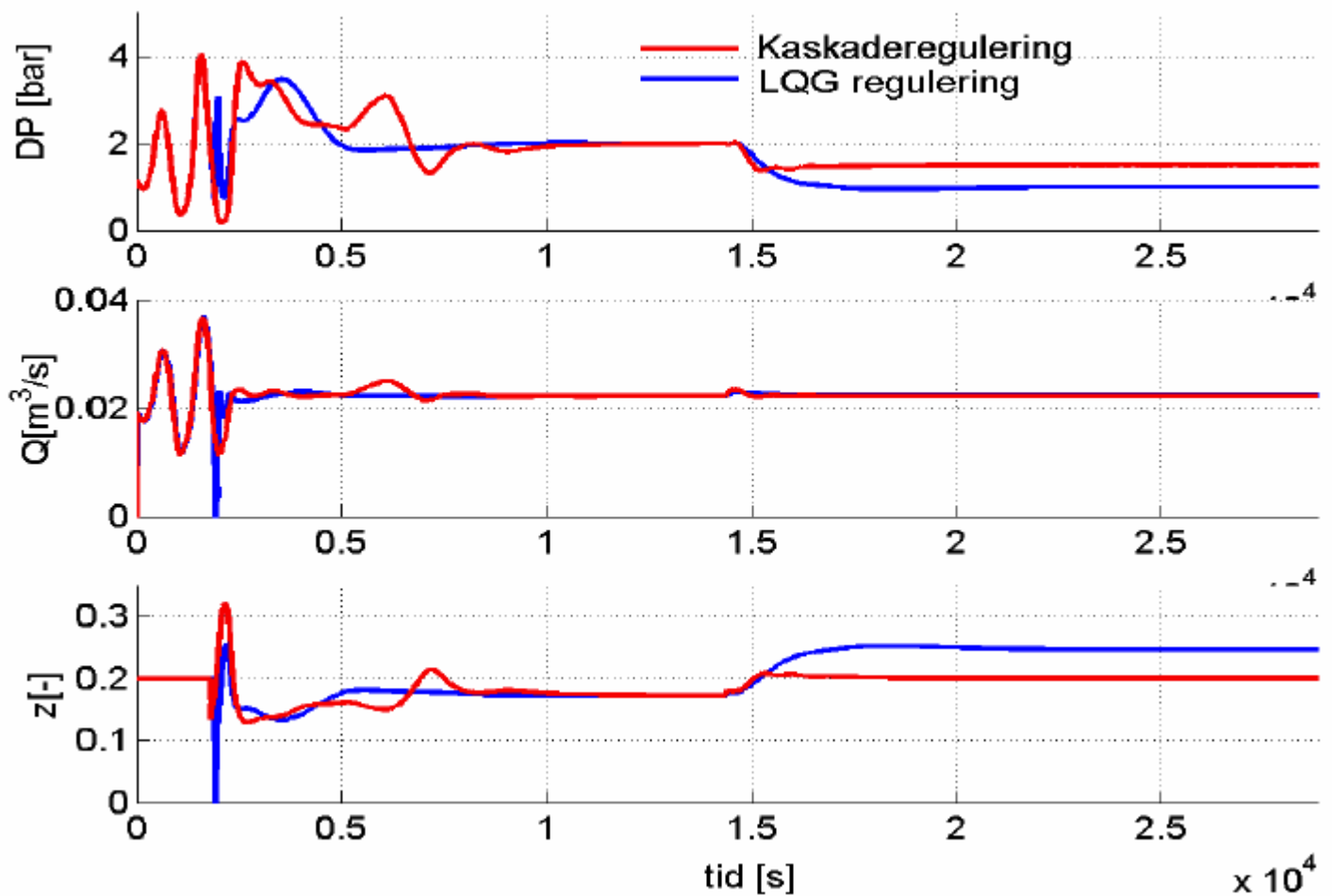


Figur V4 6: P_0 økes med 0.6% (50 → 50.3 [bar]) ved tiden 10 000s, med settpunkt 1 [bar] DP med målepunktene Q & DP .

Vedlegg 5

Sammenligning av kaskadestruktur og LQG for målepunktene Q & DP

Grafene er hentet fra foredraget Storkaas holdt på seminaret Optimal utnyttelse av naturgass den 23.04.2003. Overhead presentasjonen er tilgjengelig på internert adressen: http://www.nt.ntnu.no/users/engelieng/gass03/Espen_Storkaas.pdf

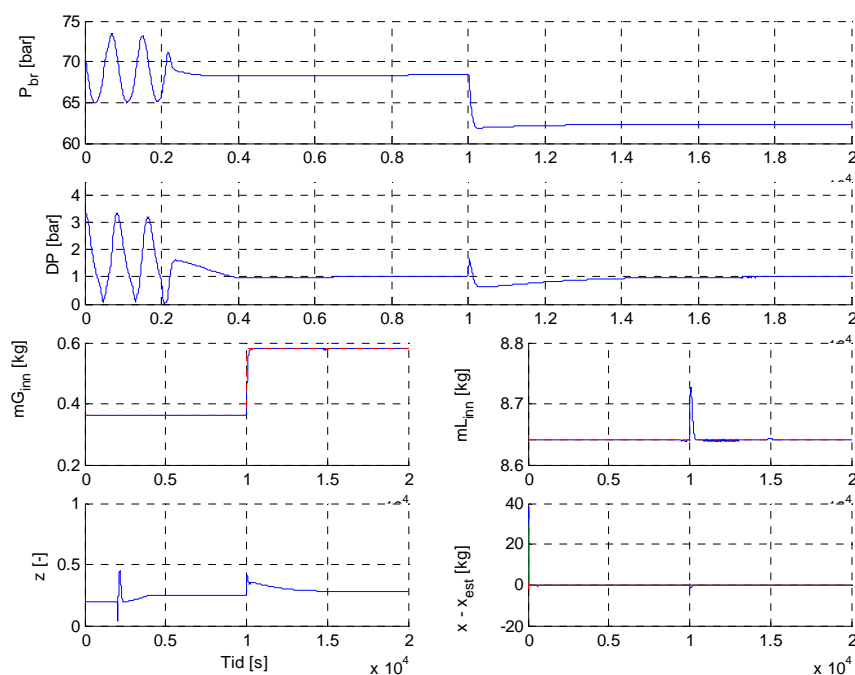


Vedlegg 6

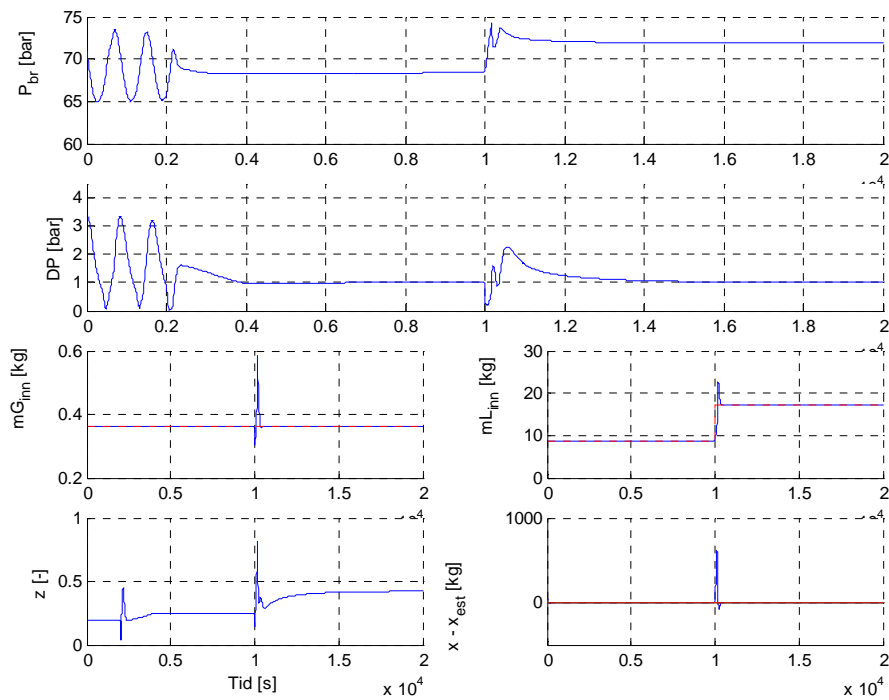
Forstyrrelser på LQG regulering med integral virkning og forstyrrelse estimering på Storkaas modell.

Dette vedlegget viser utvalgte grafer av resultatene som er presentert i 4.4.2. Regulatoren skrur på ved tiden 2000s. Når DP har stabilisert seg på settpunkt begynner Kalman filteret å estimere massestrømmene inn i fødeøret. Step forstyrrelsen kommer ved 10 000s. Grafene viser variasjoner i de to aktuelle målepunktene, endring i reell verdi er stiplede linje plottet sammen med estimert verdi av massestrømmene, ventil åpning og feil i estimerte filstander. m_L er gitt med blått, m_{G1} er gitt grønt og m_{G2} er gitt med rødt

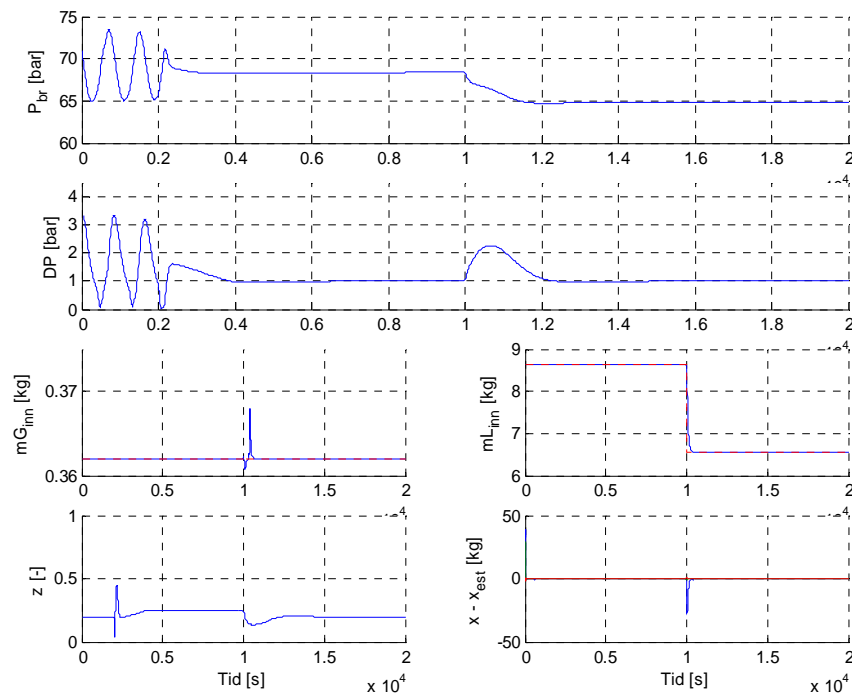
Da forstyrrelsen i $m_{G_{inn}}$ gir rimelig lik respons i DP for begge målepunktene er det vist en økning for P_{br} & DP og en reduksjon for Q & DP . For endringer i m_{Linn} er det vist både økning og reduksjon for begge målepunktene. Det er bare vist grafer for settpunkt 1 bar DP .



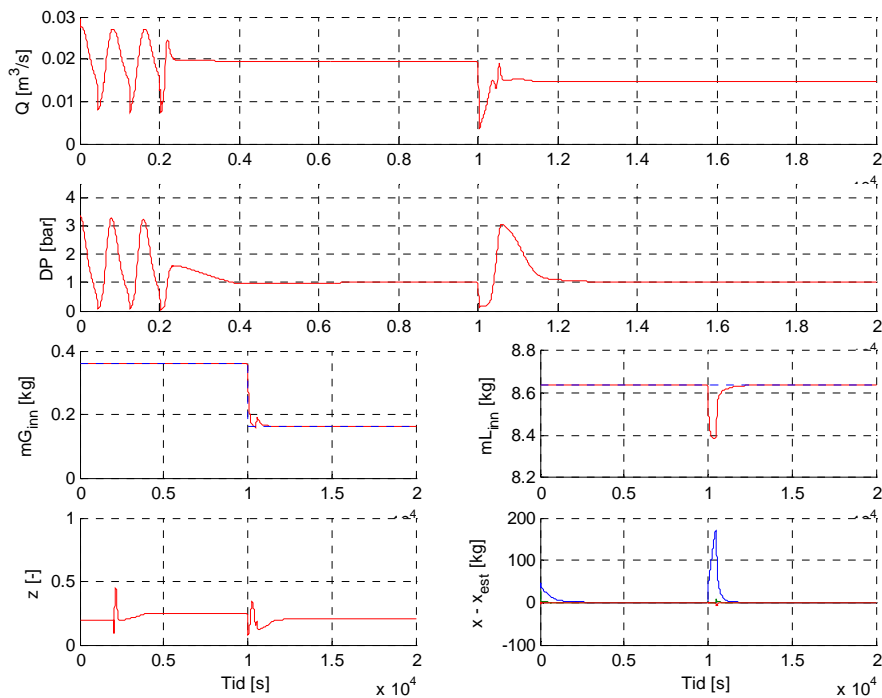
Figur V6 1: $m_{G_{inn}}$ økes med 60% (0.362 til 0.579 [kg/s]) ved tiden 10 000s, settpunkt 1 bar DP med målepunktene P_{br} & DP .



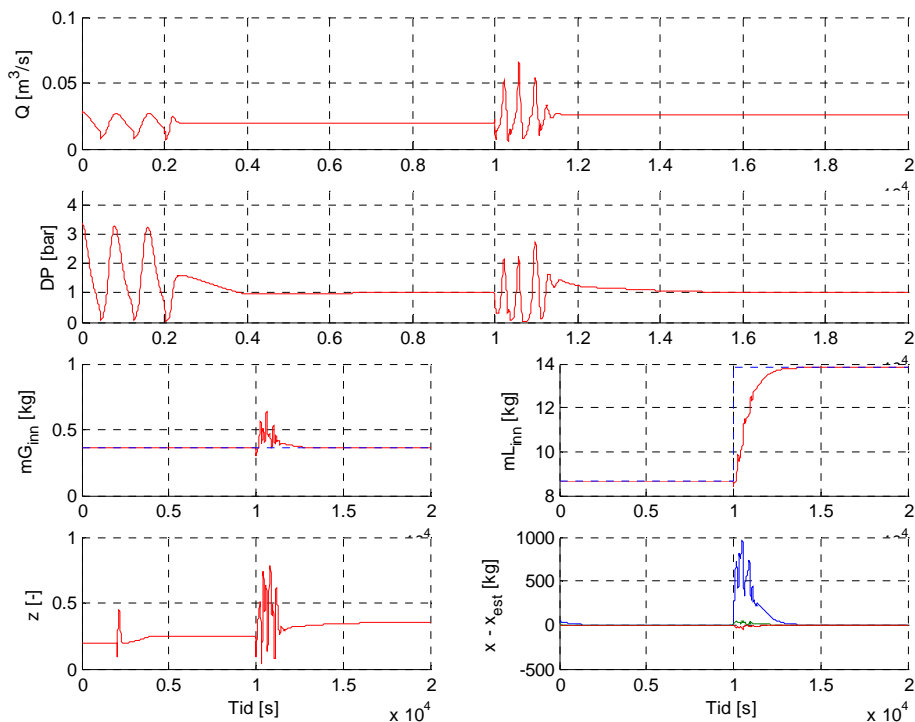
Figur V6 2: mL_{inn} reduseres med 100% (8.64 til 17.28 [kg/s]) ved tiden 10 000s, settpunkt 1 bar DP med målepunktene P_{br} & DP .



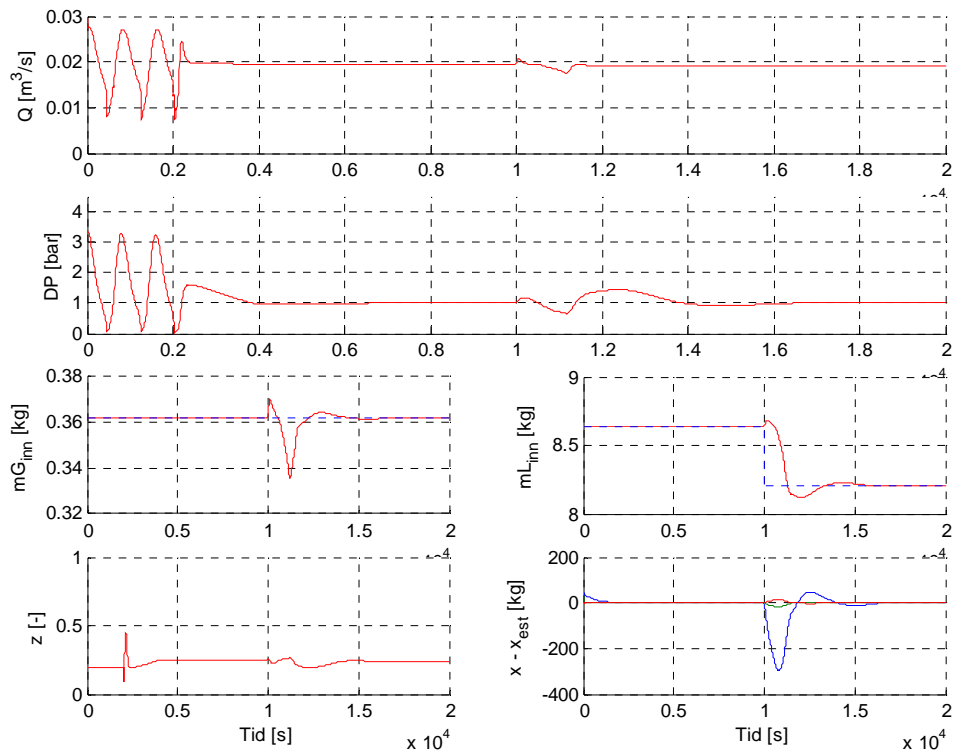
Figur V6 3: mL_{inn} reduseres med 24% (8.64 til 6.57 [kg/s]) ved tiden 10 000s, settpunkt 1 bar DP med målepunktene P_{br} & DP .



Figur V6 4: mG_{inn} reduseres med 55% (0.362 til 0.163 [kg/s]) ved tiden 10 000s, settpunkt 1 bar DP med målepunktene Q & DP .



Figur V6 5: mL_{inn} økes med 60% (8.64 til 13.82 [kg/s]) ved tiden 10 000s, settpunkt 1 bar DP med målepunktene Q & DP .



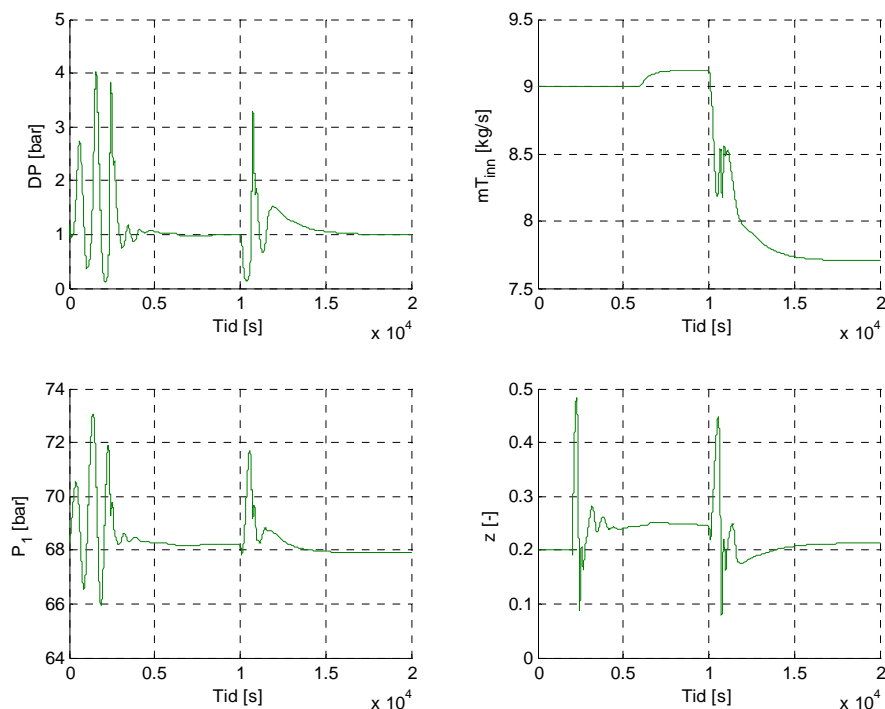
Figur V6 6: mL_{inn} reduseres med 5% (8.64 til 8.21 [kg/s]) ved tiden 10 000s, settpunkt 1 bar DP med målepunktene Q & DP .

Vedlegg 7

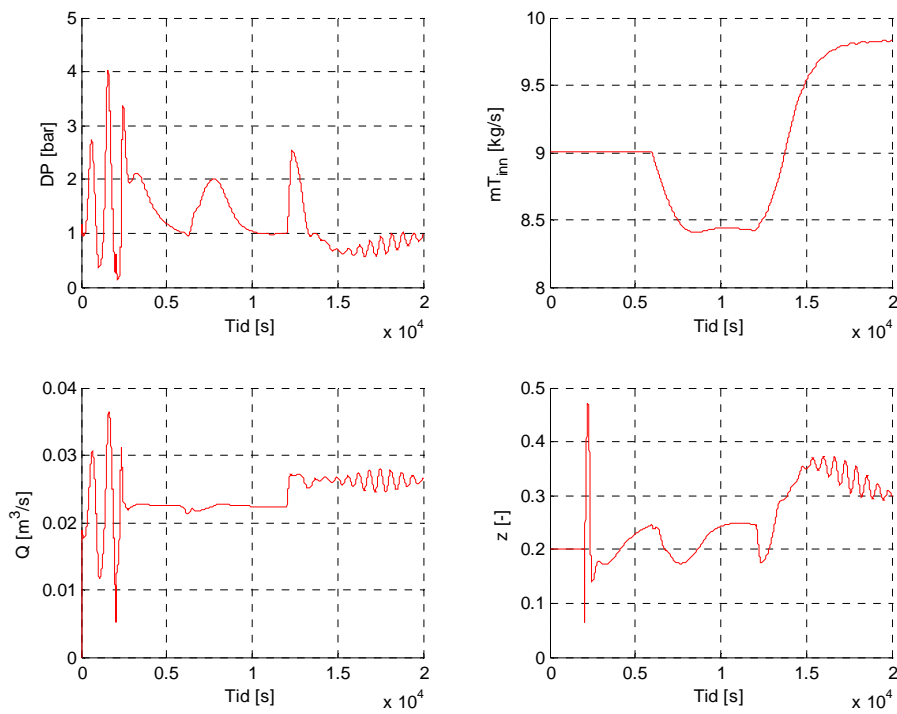
Forstyrrelser på LQG med integral virkning med forstyrrelse estimering på OLGA-2000 mdoell

Dette vedlegget viser et utvalg av grafer av resultatene presentert i kapittel4.4.4. Regulator skrus på ved tiden 2000s, estimering av massestrømmen begynner ved tiden 6000s og forstyrrelsen kommer ved tiden 10 000s med målingene P_1 & DP og P_{br} & DP . Med målepunktene Q & DP bruker regulatoren litt tid på å stabilisere seg på settpunkt igjen slik at forstyrrelsen kommer først ved 12 000s.

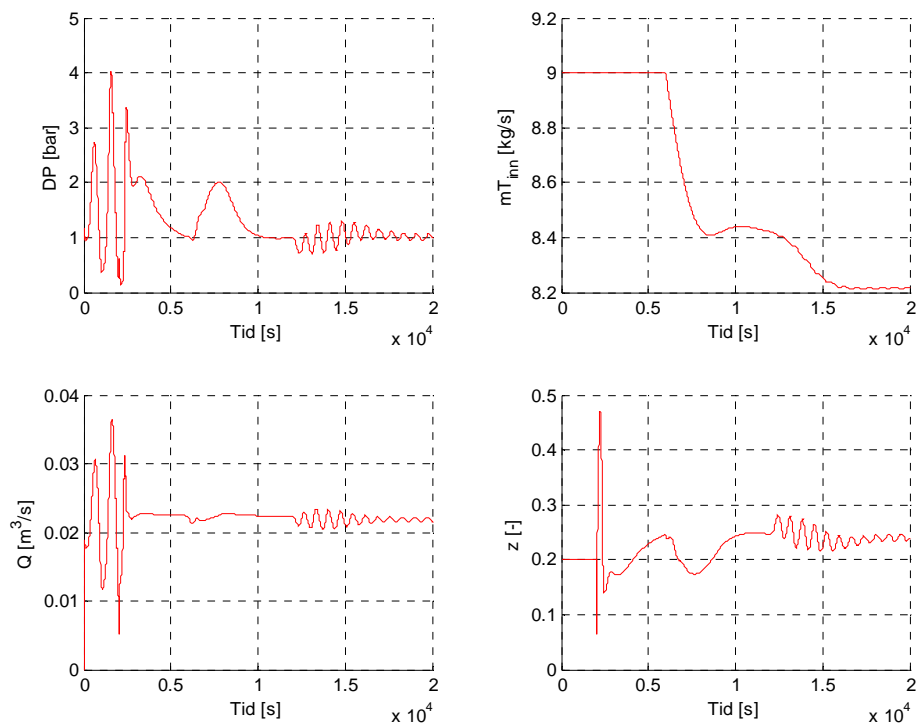
De forstyrrelser i mT_{inn} er relativt like og økning med målepunktene P_{br} & DP er vist i rapporten. Er det her bare vist reduksjon med målepunktene P_1 & DP . For målepunktene Q & DP er det vist både økning og reduksjon. Det er bare tatt med grafer for settpunkt 1 bar DP .



Figur V7 1: mT_{inn} reduseres med 13.3% ($9 - 7.8$ [kg/s]) ved tiden 10 000s, med settpunkt 1 [bar] DP og målepunktene P_1 & DP .



Figur V7 2: $m_{Tot_{inn}}$ økes med 16.7% ($9 \rightarrow 10.5$ [kg/s]) ved tiden 12 000s, med settpunkt 1 [bar] DP og målepunktene Q & DP .



Figur V7 3: $m_{Tot_{inn}}$ reduseres med 2.2% ($9 \rightarrow 8.8$ [kg/s]) ved tiden 12 000s, med settpunkt 1 [bar] DP og målepunktene Q & DP .